SolPEG GmbH Normannenweg 17-21 20537 Hamburg Germany (+49 40 79 69 59 36 (+49 40 79 69 59 38 (info@solpeg.com

www.solpeg.com

Das folgende Foto (03.03.2022) zeigt die Situation am Messpunkt P3 aus Sicht des Zugführers (Führerstandsmitfahrt) bei der Fahrt Richtung Nordosten. Der relevante Sichtwinkel ist leicht heller dargestellt. Das Foto verdeutlicht, dass die Flächen der PV Anlage nicht wahrnehmbar außerhalb des relevante Sichtwinkels, außerhalb des Bildes liegen.

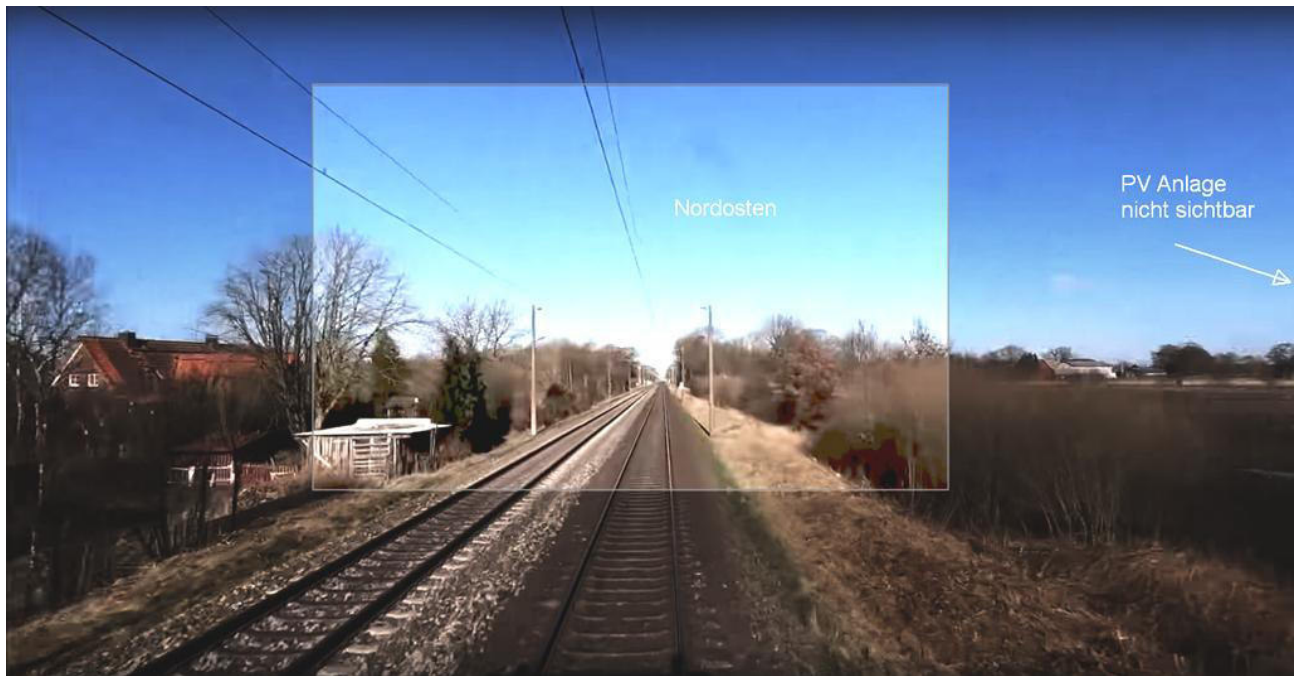


Bild 4.3.2: Foto am Messpunkt P3 (Quelle: Youtube Video IEuSffheMeI, Minute 1:01:35, Ausschnitt)



4.4 Ergebnis am Messpunkt P4, Gebäude nordwestlich

Am Messpunkt P4 im Bereich der Gebäude der Familie Hachmann (Hofladen), westlich der geplanten PV Anlage, können theoretisch an insgesamt 1687 Minuten pro Jahr Reflexionen durch das PV Feld 2 auftreten. Diese können zwischen dem 07. April und dem 05. August morgens zwischen 05:57 – 06:28 Uhr für 5 bis max. 12 Minuten pro Tag¹⁰ aus östlicher Richtung auftreten.

Das folgende Diagramm verdeutlicht die Verteilung der Minuten pro Tag im Jahresverlauf bzw. im relevanten Zeitraum.

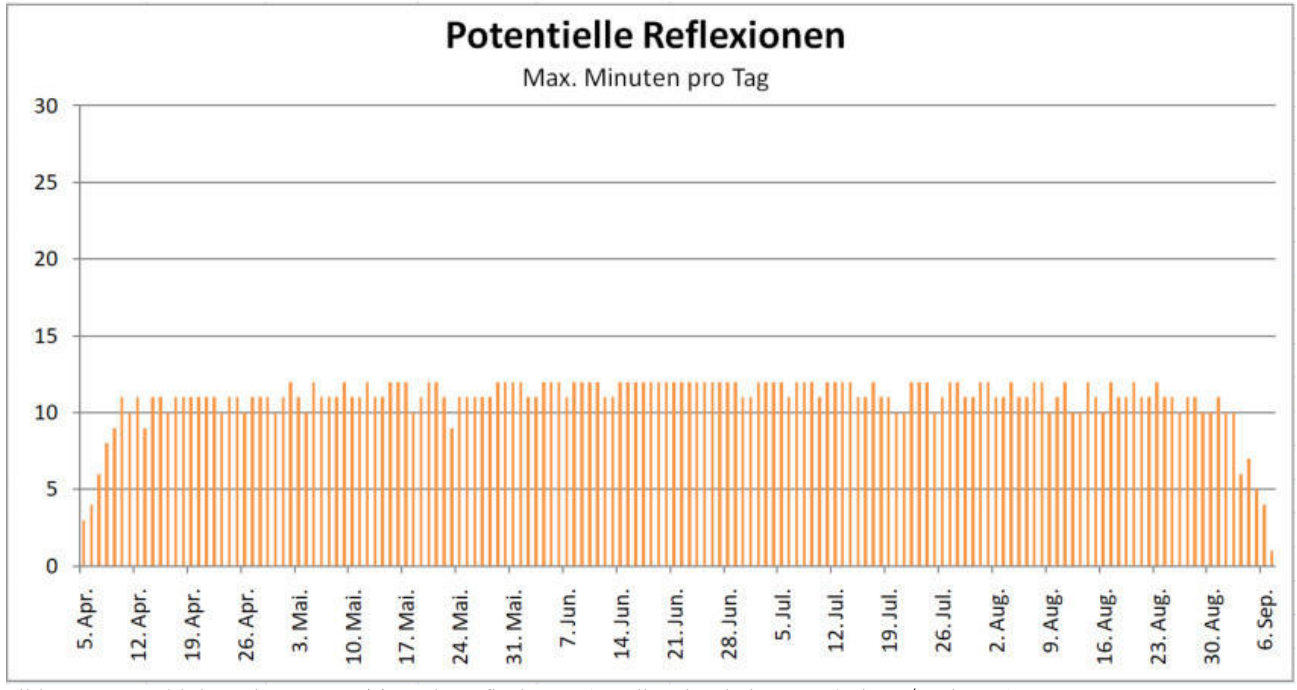


Bild 4.4.1: Anzahl der Minuten pro Tag mit Reflexionen (Quelle: Simulationsergebnisse / SolPEG)

Sowohl die Gesamtsumme pro Jahr als aus die Anzahl der Minuten pro Tag in denen Reflexionen auftreten können liegt unter den Empfehlungen der LAI Lichtleitlinie. Aufgrund der zeitlichen Dauer kann eine Beeinträchtigung von Anwohnern durch die PV Anlage bzw. eine "erhebliche Belästigung" im Sinne der LAI Lichtleitlinie mit hinreichender Wahrscheinlichkeit ausgeschlossen werden.

¹⁰ Generell wird das Auftreten von Reflexionen an weniger als 5 Minuten pro Tag nicht berücksichtigt (Messunsicherheit)

Entscheidend ist allerdings der Aspekt, dass potentielle Reflexionen aufgrund der örtlichen Gegebenheiten, den Bereich am Messpunkt P4 überwiegend nicht erreichen können. Andere Gebäude sowie ein ausgeprägter Sichtschutz aus Büschen und Bäumen verhindern einen direkten Sichtkontakt zur Immissionsquelle. Die rechnerisch ermittelten Ergebnisse (Tabelle 3) sind in der Realität nicht anwendbar bzw. müssen deutlich (ca. 50%) reduziert werden.

Die folgende Skizze zeigt die Situation am Messpunkt P4 auf Basis der unbereinigten Rohdaten.



Bild 4.3.2: Situation am Messpunkt P3 (Quelle: Google Earth / SolPEG)

Das folgende Foto zeigt den Blick von Süden Richtung Norden auf den Messpunkt P4.

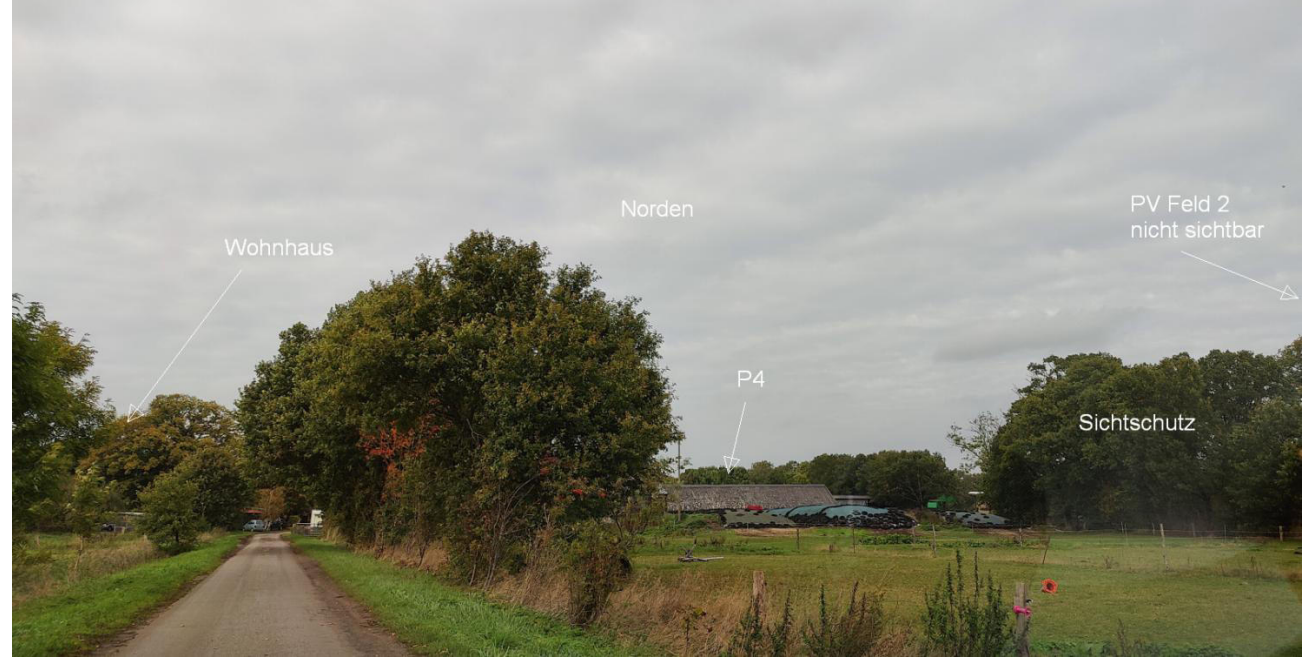


Bild 4.3.3: Foto in Richtung Messpunkt P4 (Quelle: SolPEG Ortsbegehung)

SolPEG GmbH Normannenweg 17-21 20537 Hamburg Germany (+49 40 79 69 59 36 (+49 40 79 69 59 38 (info@solpeg.com (www.solpeg.com

Einflüsse auf Nutztiere

Das Regelwerk des Bundesimmissionsschutzgesetz (BImSchG) und auch die Lichtleitlinie enthalten keine Angaben zum Schutz von Tierbeständen der landwirtschaftlichen Tierhaltung in Bezug auf Lichtimmissionen. Dies liegt auch daran, dass bislang keine wissenschaftlichen Untersuchungen über die Wirkung von Lichtimmissionen auf Nutztiere vorhanden sind und dementsprechend keine Vorgaben zu deren Schutz abgeleitet werden konnten. In anderen Vorgaben werden lediglich die von Nutztieren ausgehenden Immissionen (insbesondere Lärm und Gerüche) behandelt.

Grundsätzlich können auch Nutztiere (und Wildtiere) Lichtimmissionen bzw. Reflexionen wahrnehmen wobei Reflexionen von PV Anlagen nur bei Tag/Sonnenlicht stattfinden können. Reflexionen von Wasseroberflächen (z.B. einer Tränke) sind ein Effekt mit dem freilaufende Tiere problemlos umgehen können und angeborene Vermeidungs- und Schutzreflexe wie Augen schließen oder Kopf abwenden verhindern Beeinträchtigungen. Im Gegensatz zu bei Nachtadaption plötzlich aufblitzenden Scheinwerfern sind Reflexionen von PV Anlagen bei Tag eine statische und somit auch für Tiere eher "natürliche" bzw. eher "einschätzbare" Immissionsquelle.

Konstruktionsbedingt können ortsfeste PV Anlagen eher in den Morgen- und Abendstunden Reflexionen verursachen, wobei in diesem Zeitfenster die tief stehende Sonne die eigentliche Immissionsquelle darstellt.

Basierend auf der momentan verfügbaren Faktenlage kann eine nachweisliche Beeinträchtigung für freilaufende Nutztiere durch Reflexionen von ortsfesten PV Anlagen mit hinreichender Wahrscheinlichkeit ausgeschlossen werden.

Wissenschaftliche Forschungen in dieser Hinsicht wären sicherlich hilfreich.

4.5 Ergebnis am Messpunkt P5, Gebäude östlich

Messpunkt P5 im Bereich der östlich gelegenen Gebäude wurde zu Kontrollzwecken untersucht da aufgrund der Lage und insbesondere aufgrund der Entfernung kaum mit Reflexionen durch die PV Anlage zu rechnen ist. Das Ergebnis zeigt erwartungsgemäß keine relevanten Reflexionen durch die PV Anlage (insgesamt 111 Minuten pro Jahr). Eine Beeinträchtigung von Anwohnern durch die PV Anlage kann mit hinreichender Wahrscheinlichkeit ausgeschlossen werden.

Die folgende Skizze zeigt die Situation am Messpunkt P5 auf Basis der unbereinigten Rohdaten.

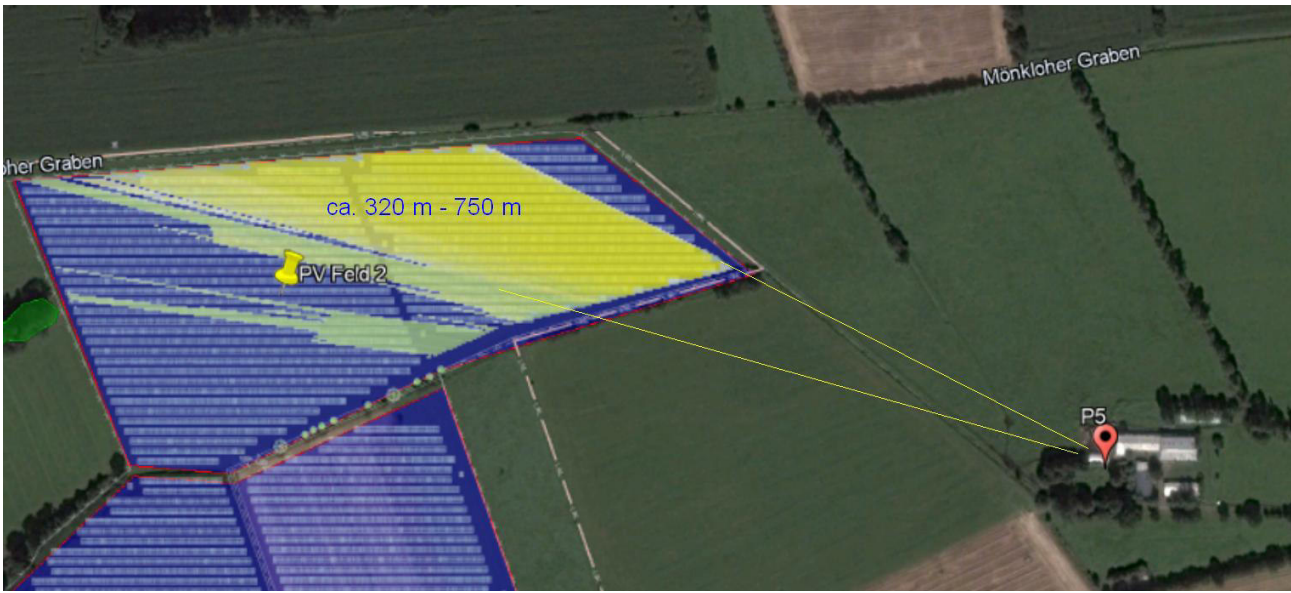


Bild 4.5.1: Situation am Messpunkt P5 (Quelle: Google Earth / SolPEG)



Beispielhaft für die Simulationsergebnisse zeigen die folgenden Diagramme das Auftreten der Reflexionen im Tages- bzw. im Jahresverlauf am Messpunkt P5 (OP 5). Die Farben symbolisieren die jeweilige Kategorie der potentiellen Blendwirkung in Bezug zur Leuchtdichte der Reflexionen. Wie bereits in Abschnitt 3.6 **Fehler! Verweisquelle konnte nicht gefunden werden.** ausgeführt sind jeweils die theoretischen Maximalwerte dargestellt, die nicht ohne Einschränkungen verwendet werden können. Die im Diagramm gezeigten 388 Minuten entsprechen den unbereinigten Rohdaten.

PV Feld 2 - OP Receptor (OP 5)

PV array is expected to produce the following glare for receptors at this location:

- 716 minutes of "green" glare with low potential to cause temporary after-image.
- 388 minutes of "yellow" glare with potential to cause temporary after-image.

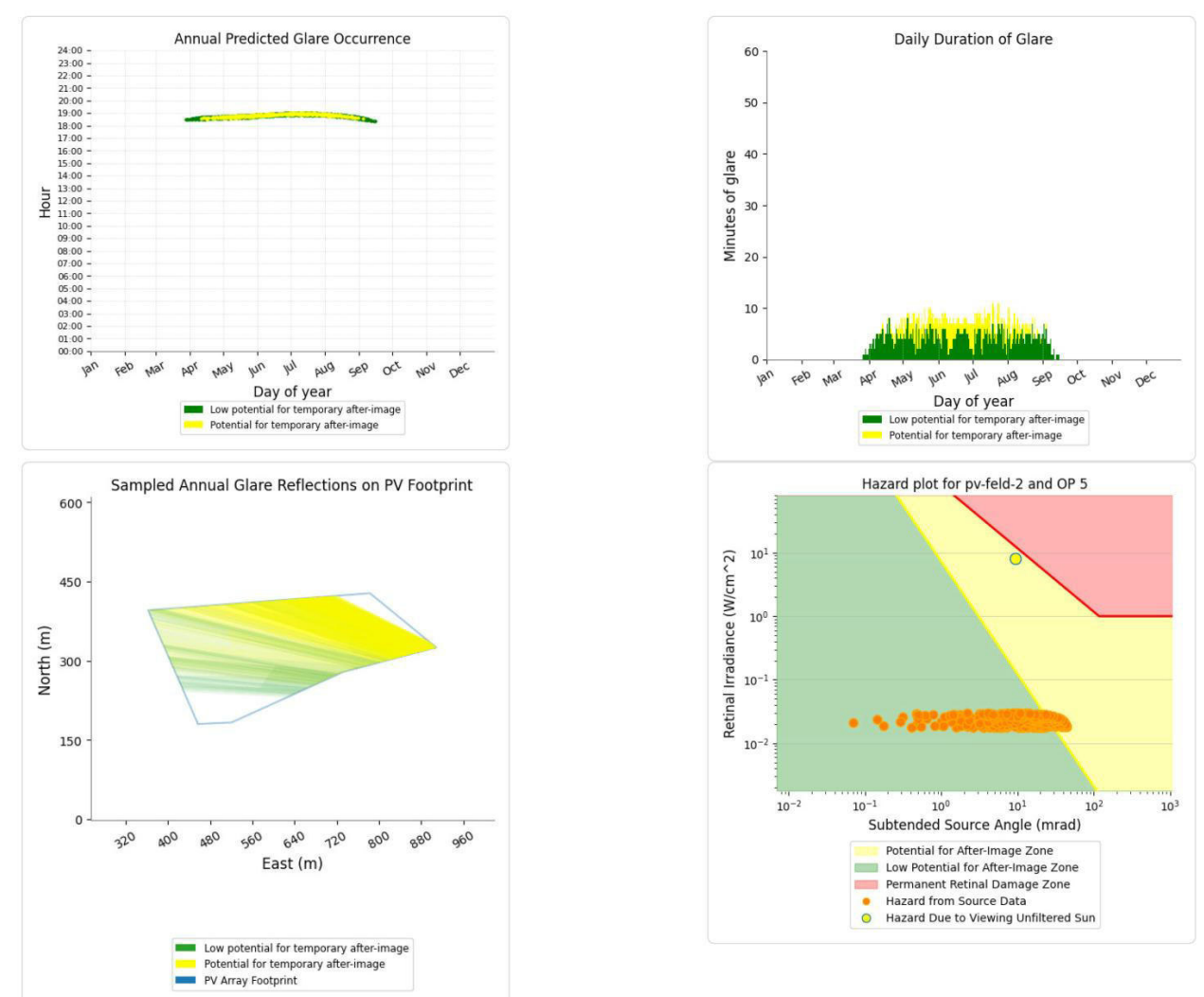


Bild 4.5.2: Ergebnisdetails für Messpunkt P5 (Quelle: Simulationsergebnisse)

Weitere Details auch zu den anderen Messpunkten finden sich im Anhang.

SolPEG GmbH Normannenweg 17-21 20537 Hamburg Germany \$\bigc\\$ +49 40 79 69 59 36\$
\$\bigc\\$ +49 40 79 69 59 38\$
\$\bigc\\$ info\@solpeg.com\$
\$\bigc\\$ www.solpeg.com\$

5 Zusammenfassung der Ergebnisse

Die potentielle Blendwirkung der hier betrachteten PV Anlage "Bokel" kann als "geringfügig" klassifiziert¹¹ werden. Im Vergleich zur Blendwirkung durch direktes Sonnenlicht oder durch Spiegelungen von Windschutzscheiben, Wasserflächen, Gewächshäusern o.ä. ist diese "vernachlässigbar". Unter Berücksichtigung von weiteren Einflussfaktoren wie z.B. Geländestruktur, lokalen Wetterbedingungen (Frühnebel, etc.) kann die Wahrscheinlichkeit für das Auftreten von Reflexion durch die PV Anlage als gering eingestuft werden.

Der Auftraggeber hat bei der geplanten PV Anlage Bokel mit dem Einsatz von hochwertigen PV Modulen die nach aktuellem Stand der Technik möglichen Maßnahmen zur Reduzierung von Reflexionen vorgesehen.

Die Analyse von 5 exemplarisch gewählten Messpunkten zeigt nur eine geringfügige, theoretische Wahrscheinlichkeit für Reflexionen. Im Verlauf der geplanten Erweiterung der A20 südlich der PV Anlage sind theoretisch in geringem Umfang Reflexionen möglich. Die Einfallswinkel liegen allerdings deutlich außerhalb des für Fahrzeugführer relevanten Sichtwinkels und daher sind potentielle Reflexionen zu vernachlässigen. Auch auf der westlich verlaufenden Bahnstrecke Hamburg-Altona–Kiel liegen die Einfallswinkel deutlich außerhalb des für Zugführer relevanten Sichtwinkels. Die Sichtbarkeit von DB Signalanlagen ist nicht beeinträchtigt.

Im Bereich der nordwestlich gelegenen Gebäude der Familie Hachmann (Hofladen) können theoretisch Reflexionen durch das PV Feld 2 auftreten. Aufgrund der örtlichen Gegebenheiten besteht allerdings überwiegend kein direkter Sichtkontakt zur Immissionsquelle und auch aufgrund der geringen zeitlichen Dauer sind potentielle Reflexionen zu vernachlässigen. Dies gilt in ähnlicher Weise auch für die Gebäude östlich der PV Anlage. Eine Beeinträchtigung von Anwohnern im Sinne der LAI Lichtleitlinie kann mit hinreichender Wahrscheinlichkeit ausgeschlossen werden.

Es ist davon auszugehen, dass die theoretisch berechneten Reflexionen in der Praxis keine Blendwirkung entwickeln werden. Details zu den Ergebnissen an den jeweiligen Messpunkten finden sich in Abschnitt 4.

Vor dem Hintergrund dieser Ergebnisse sind keine speziellen Sichtschutzmaßnahmen erforderlich bzw. angeraten und es bestehen keine Einwände gegen das Bauvorhaben.

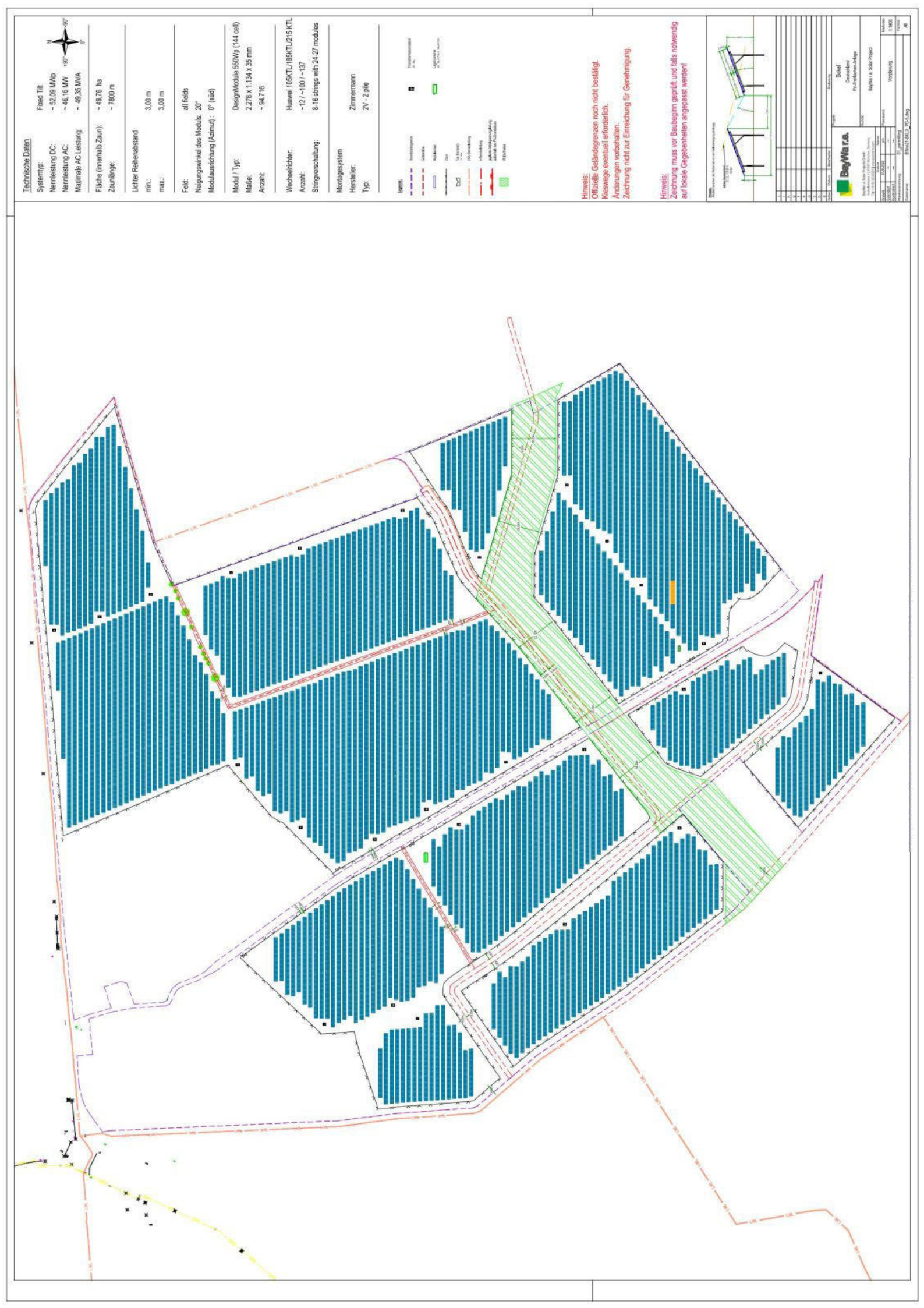
6 Schlussbemerkung

Die hier dargestellten Untersuchungen, Sachverhalte und Einschätzungen wurden nach bestem Wissen und Gewissen und anhand von vorgelegten Informationen, eigenen Untersuchungen und weiterführenden Recherchen angefertigt. Eine Haftung für etwaige Schäden, die aus diesen Ausführungen bzw. weiteren Maßnahmen erfolgen, kann nicht übernommen werden.

Hamburg, den 17.10.2022

Dieko Jacobi / SolPEG GmbH

¹¹ Die Klassifizierung entspricht den Wertebereichen der Simulationsergebnisse





BACKSHEET MONOCRYSTALLINE MODULE

500W+

MAXIMUM POWER OUTPUT

21.1%

MAXIMUM EFFICIENCY

0/+5W

POSITIVE POWER TOLERANCE

Founded in 1997, Trina Solar is the world's leading total solution provider for solar energy. With local presence around the globe, Trina Solar is able to provide exceptional service to each customer in each market and deliver our innovative, reliable products with the backing of Trina as a strong bankable brand. Trina Solar now distributes its PV products to over 100 countries all over the world. We are committed to building strategic, mutually beneficial collaborations with installers, developers, distributors and other partners in driving smart energy together.

Comprehensive Products and System Certificates

IEC61215/IEC61730/IEC61701/IEC62716 ISO 9001: Quality Management System ISO 14001: Environmental Management System ISO14064: Greenhouse Gases Emissions Verification ISO45001: Occupational Health and Safety





Management System













High customer value

- Lower LCOE (Levelized Cost Of Energy), reduced BOS (Balance Of System) cost, shorter payback time
- Lower guaranteed first year and annual degradation
- Designed for compatibility with existing mainstream system components
- Higher Return on Investment



High power up to 505W

- Large area cells based on 210mm silicon wafers and 1/3-cut cell technology
- Up to 21.1% module efficiency with high density interconnect technology
- Multi-busbar technology for better light trapping effect, lower series resistance and improved current collection



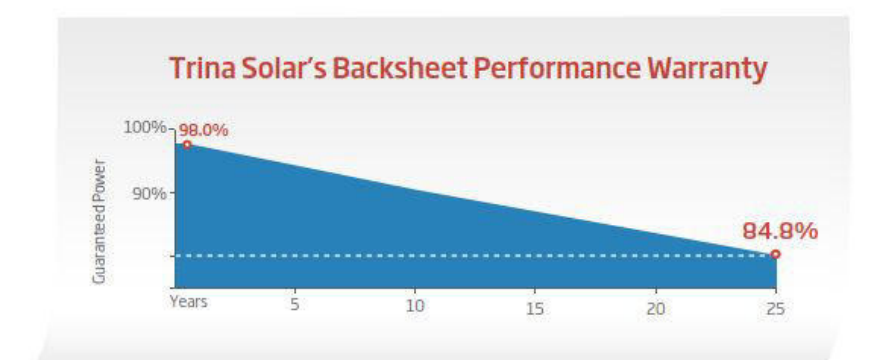
High reliability

- Minimized micro-cracks with innovative non-destructive cutting technology
- Ensured PID resistance through cell process and module material control
- · Resistant to salt, ammonia and sand



High energy yield

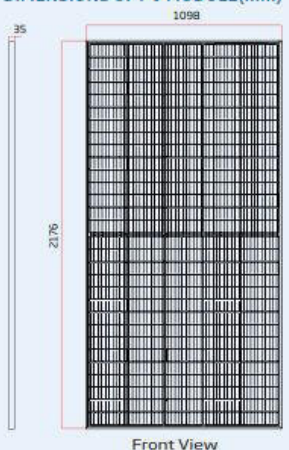
- · Excellent light absorption throughout the day (IAM) and low light performance, validated by 3rd party certifications
- Lower temperature coefficient (-0.36%) and operating temperature
- Optimized power output under inter-row shading conditions

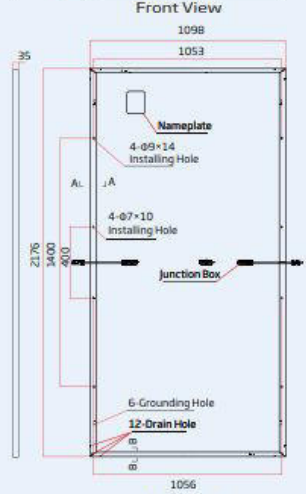


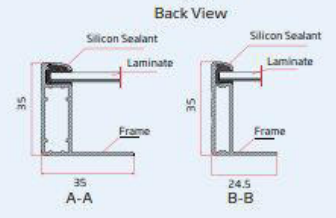


BACKSHEET | TSM-DE18M(II)

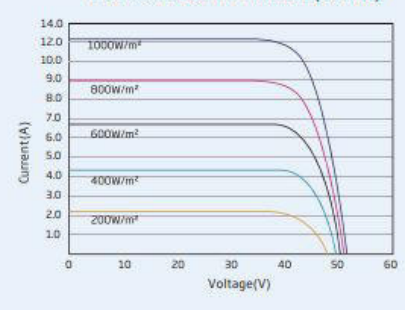
DIMENSIONS OF PV MODULE(mm)



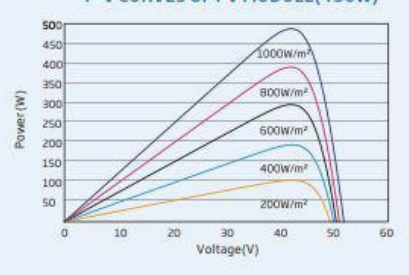




I-V CURVES OF PV MODULE(490 W)



P-V CURVES OF PV MODULE(490W)



ELECTRICAL DATA (STC)

Peak Power Watts-Pmix (Wp)*	480	485	490	495	500	505
Power Output Tolerance-PMAX (W)			0/	+5		
Maximum Power Voltage-VMPP (V)	42.0	42.2	42.4	42.6	42.8	43.0
Maximum Power Current-Impp (A)	11.42	11.49	11.56	11.63	11.69	11.75
Open Circuit Voltage-Voc (V)	50.8	51.1	51.3	51.5	51.7	51.9
Short Circuit Current-Isc (A)	11.99	12.07	12.14	12.21	12.28	12.35
Module Efficiency η π (%)	20.1	20.3	20.5	20.7	20.9	21.1

STC: Irradiance 1000W/m², Cell Temperature 25°C, Air Mass AM1.5.

*Measuring tolerance: ±3%.

ELECTRICAL DATA (NMOT)

Maximum Power-P _{MAX} (Wp)	363	367	371	375	379	382
Maximum Power Voltage-V _{MPP} (V)	39.6	39.8	40.0	40.2	40.4	40.6
Maximum Power Current-Impp (A)	9.15	9.20	9.26	9.32	9.37	9.43
Open Circuit Voltage-Voc (V)	48.0	48.2	48.4	48.6	48.8	49.0
Short Circuit Current-Isc (A)	9,65	9.72	9.77	9.83	9.89	9.94

NMOT: Irradiance at 800W/m², Ambient Temperature 20°C, Wind Speed 1m/s.

MECHANICAL DATA

Solar Cells	Monocrystalline
Cell Orientation	150 cells
Module Dimensions	2176 ×1098 × 35 mm
Weight	26.3 kg
Glass	3.2 mm High Transmission, AR Coated Heat Strengthened Glass
Encapsulant Material	EVA
Backsheet	White
Frame	35 mm Anodized Aluminium Alloy
J-Box	IP 68 rated
Cables	Photovoltaic Technology Cable 4.0mm² Portrait: N 280mm/P 280mm Landscape: N 1400 mm /P 1400 mm
Connector	TS4

TEMPERATURE RATINGS

NMOT (Nominal Module Operating Temperature)	41°C (±3K)
Temperature Coefficient of PMAX	- 0.36%/K
Temperature Coefficient of Voc	-0.26%/K
Temperature Coefficient of Isc	0.04%/K

MA	XI	MI	JM	RA	TIP	VGS	

Operational Temperature	-40 to +85°C
Maximum System Voltage	1500V DC (IEC)
Max Series Fuse Rating	20A

(Do not connect Fuse in Combiner Box with two or more strings in parallel connection)

WARRANTY

10 year Product Workmanship Warranty 25 year Power Warranty

2% first year degradation

0.55% annual degradation

(Please refer to product warranty for details)

Operational Temperature	-40 to +85°C
Maximum System Voltage	1500V DC (IEC)
Max Series Fuse Rating	20A

PACKAGING CONFIGUREATION

Modules per box: 30 pieces Modules per 40' container: 600 pieces



CAUTION: READ SAFETY AND INSTALLATION INSTRUCTIONS BEFORE USING THE PRODUCT.

© 2020 Trina Solar Limited. All rights reserved. Specifications included in this datasheet are subject to change without notice, Version number: TSM_EN_2020_A www.trinasolar.com



ForgeSolar

Bokel

Bokel

Created Oct. 18, 2022 Updated Oct. 18, 2022 Time-step 1 minute Timezone offset UTC1 Site ID 77840.13783

Project type Advanced Project status: active Category 10 MW to 100 MW



Misc. Analysis Settings

DNI: varies (1,000.0 W/m^2 peak) Ocular transmission coefficient: 0.5 Pupil diameter: 0.002 m Eye focal length: 0.017 m Sun subtended angle: 9.3 mrad Analysis Methodology: **Version 2**Enhanced subtended angle calculation: **On**

Summary of Results Glare with potential for temporary after-image predicted

PV Name	Tilt	Orientation	"Green" Glare	"Yellow" Glare	Energy Produced
	deg	deg	min	min	kWh
PV Feld 1	20.0	180.0	2,551	1,243	-
PV Feld 2	20.0	180.0	1,432	2,662	-
PV Feld 3	20.0	180.0	2,278	640	-
PV Feld 4a	20.0	180.0	991	667	-
PV Feld 4b	20.0	180.0	1,911	1,976	-

1 von 18 © Copyright Information | Document reference: 20221018.23133101| Dieka Jacobi / SoffEG Gmibit | Copy, transfer, extract without written nuclice prohibited 18.10.2022, 19:39

Name: PV Feld 4a Footprint area: 72,169 m^2
Axis tracking: Fixed (no rotation)

Tilt: 20.0 deg

Orientation: 180.0 deg

Rated power: -

Panel material: Smooth glass with AR coating Vary reflectivity with sun position? Yes Correlate slope error with surface type? Yes Slope error: 8.43 mrad



Vertex	Latitude	Longitude	Ground elevation	Height above ground	Total elevation
	deg	deg	m	m	m
1	53.884537	9.721827	2.14	2.00	4.14
2	53.885498	9.723898	2.17	2.00	4.17
3	53.885505	9.724434	1.98	2.00	3.98
4	53.885220	9.726204	2.49	2.00	4.49
5	53.885340	9.727588	2.16	2.00	4.16
6	53.884645	9.728339	2.84	2.00	4.84
7	53.883032	9.724799	2.57	2.00	4.57
8	53.883415	9.722970	2.39	0.00	2.39

Name: PV Feld 4b Footprint area: 43,722 m^2
Axis tracking: Fixed (no rotation)

Tilt: 20.0 deg

Orientation: 180.0 deg

Rated power: -

Panel material: Smooth glass with AR coating Vary reflectivity with sun position? Yes Correlate slope error with surface type? Yes Slope error: 8.43 mrad



Vertex	Latitude	Longitude	Ground elevation	Height above ground	Total elevation
	deg	deg	m	m	m
1	53.882684	9.718973	2.53	2.00	4.53
2	53.883468	9.720582	2.15	2.00	4.15
3	53.883747	9.720260	2.29	2.00	4.29
4	53.883962	9.720443	2.50	2.00	4.50
5	53.884455	9.721623	2.16	2.00	4.16
6	53.883332	9.722787	2.25	0.00	2.25
7	53.882678	9.722793	2.48	2.00	4.48
8	53.881483	9.721151	2.39	2.00	4.39

Discrete Observation Receptors

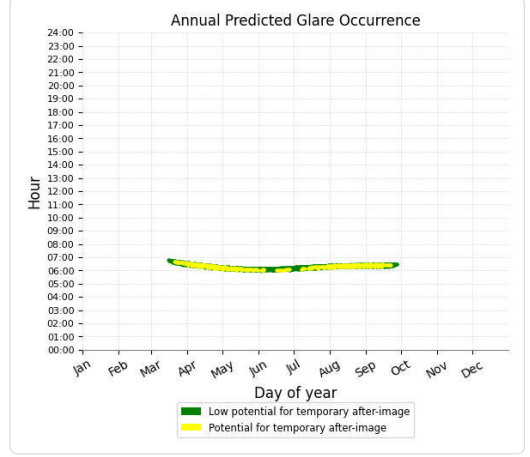
Number	Latitude	Longitude	Ground elevation	Height above ground	Total Elevation
	deg	deg	m	m	m
OP 1	53.883094	9.730627	2.47	2.00	4.47
OP 2	53.881393	9.724007	1.90	2.00	3.90
OP 3	53.886617	9.709340	3.38	2.00	5.38
OP 4	53.889990	9.717206	3.33	2.00	5.33
OP 5	53.889324	9.731525	3.88	2.00	5.88

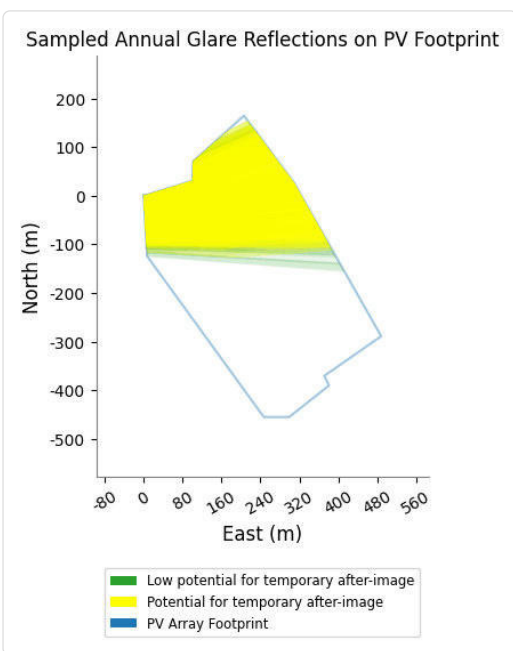
4 von 18 18.10.2022, 19:39

PV Feld 1 - OP Receptor (OP 3)

PV array is expected to produce the following glare for receptors at this location:

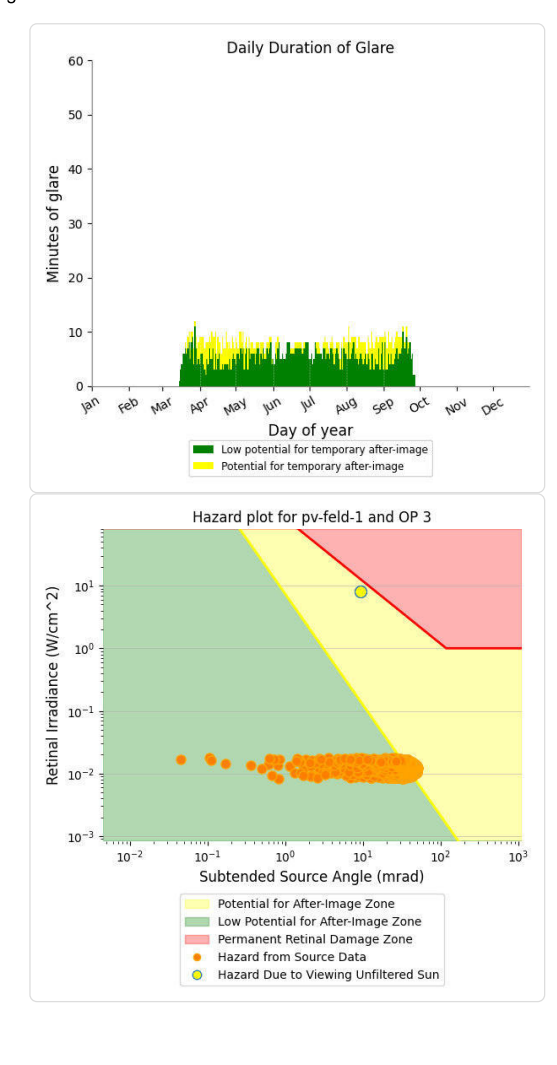
- 1,103 minutes of "green" glare with low potential to cause temporary after-image.
- 423 minutes of "yellow" glare with potential to cause temporary after-image.







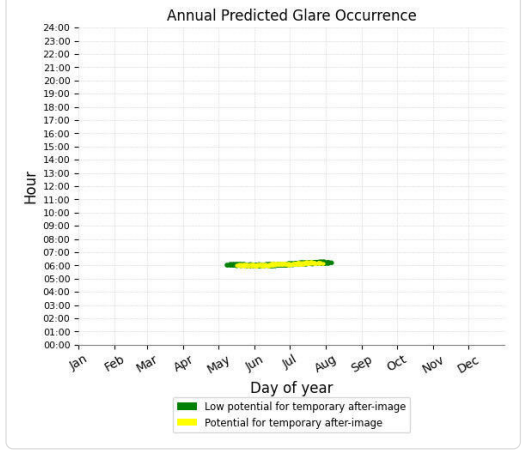
No glare found

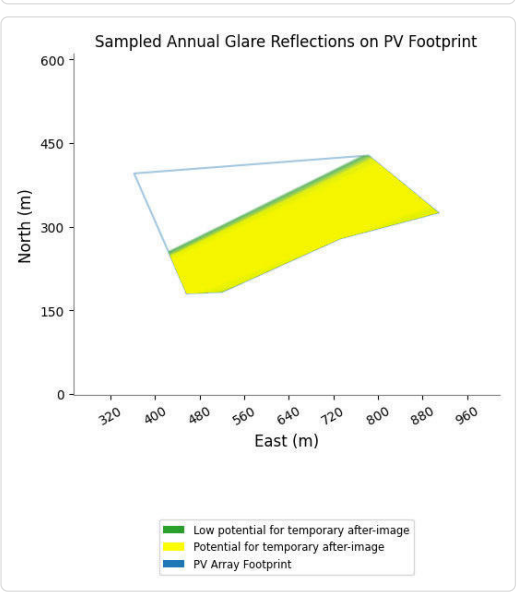


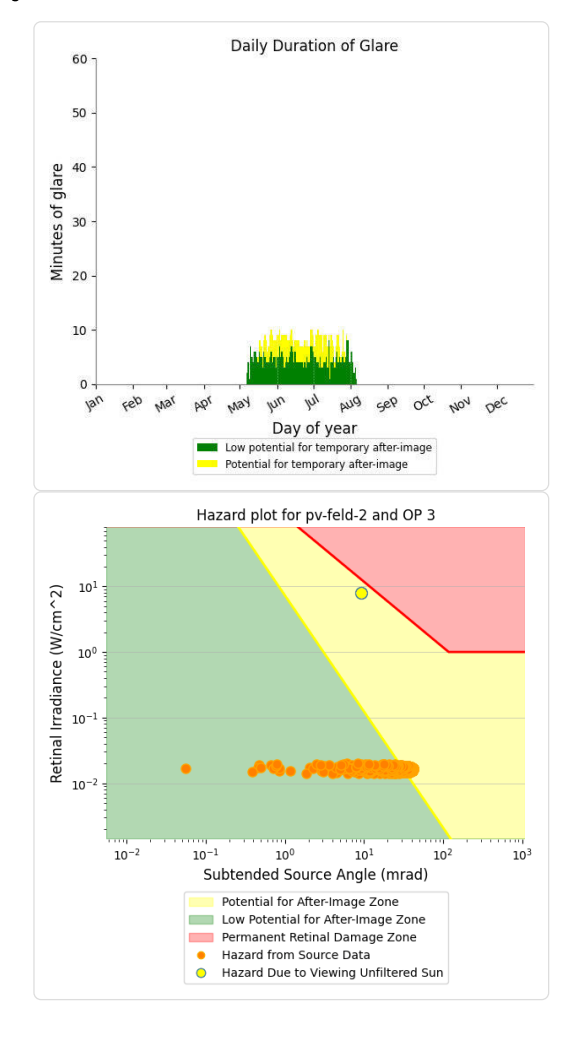
PV Feld 2 - OP Receptor (OP 3)

PV array is expected to produce the following glare for receptors at this location:

- 420 minutes of "green" glare with low potential to cause temporary after-image.
 251 minutes of "yellow" glare with potential to cause temporary after-image.





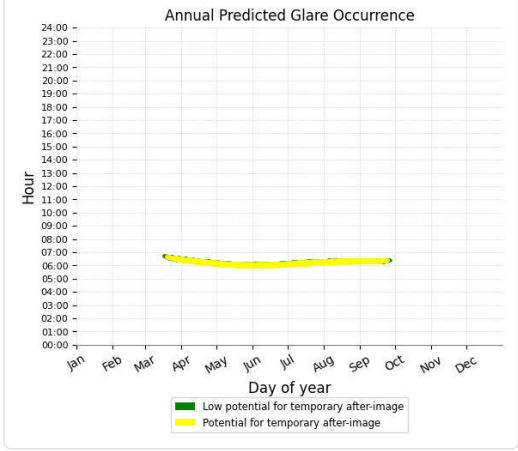


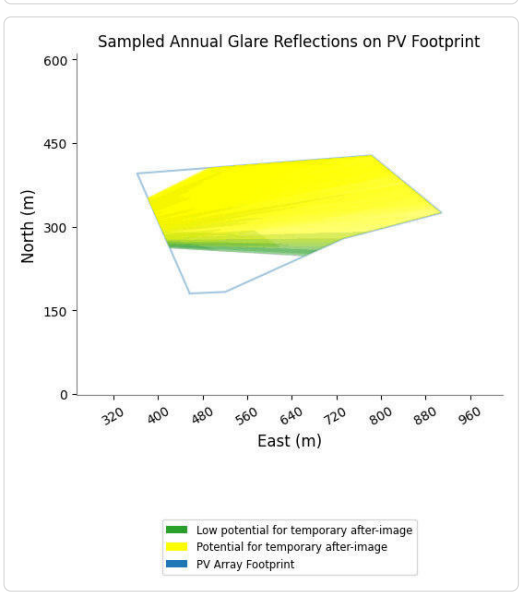
9 von 18

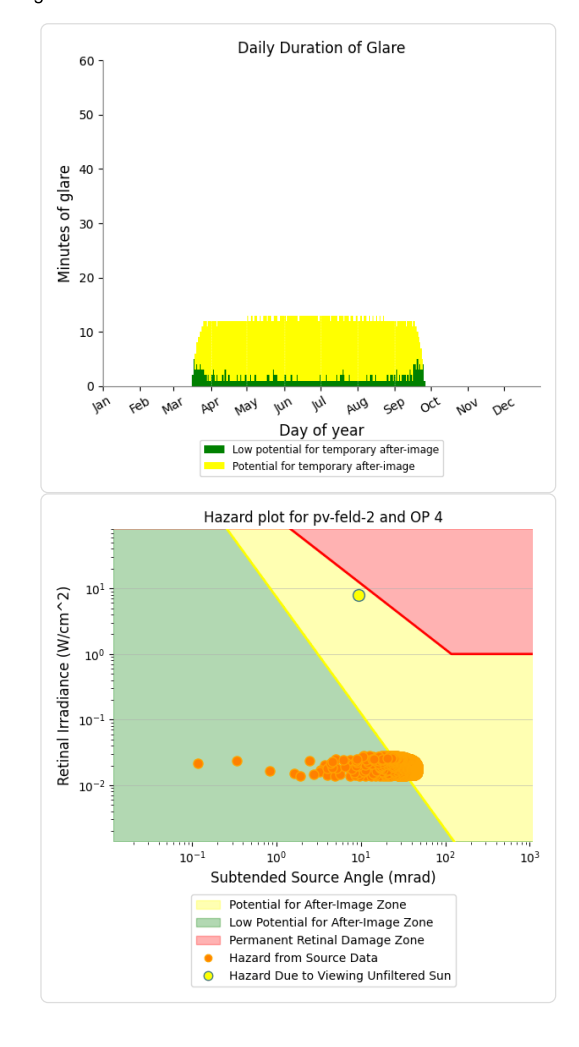
PV Feld 2 - OP Receptor (OP 4)

PV array is expected to produce the following glare for receptors at this location:

- 296 minutes of "green" glare with low potential to cause temporary after-image.
- 2,023 minutes of "yellow" glare with potential to cause temporary after-image.





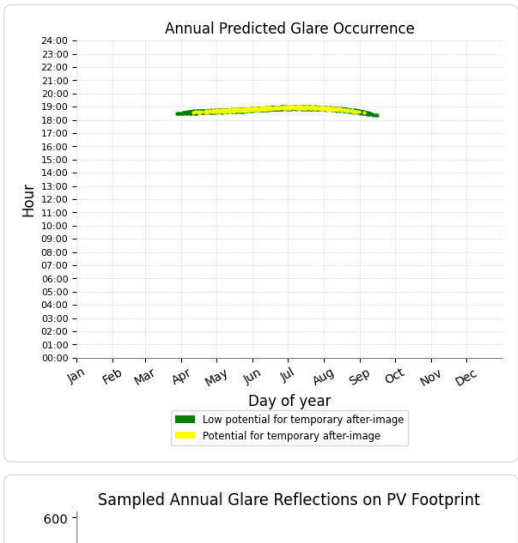


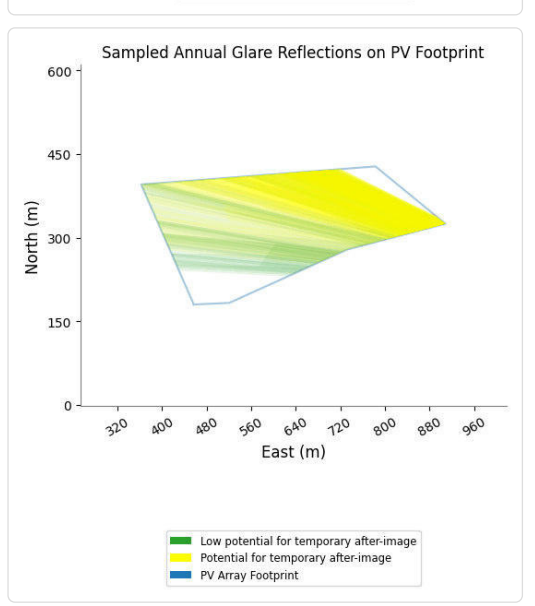
10 von 18 © Capyright Information | Decument reference: 20221018.23133101 | Dieka Jacobi / SoPFES Großel | Capy, transfer, extract without written reaction prohibited 18.10.2022, 19:39

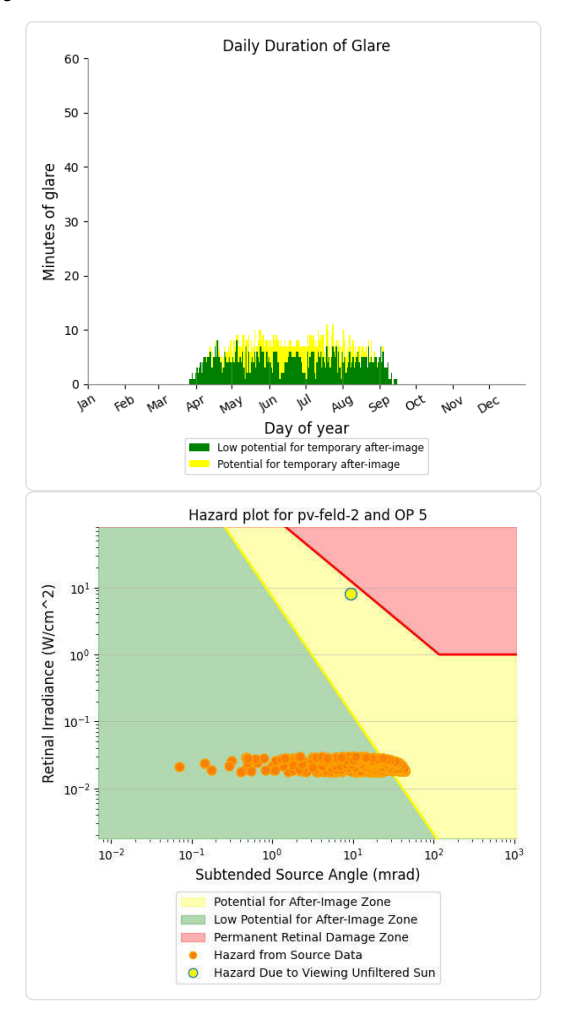
PV Feld 2 - OP Receptor (OP 5)

PV array is expected to produce the following glare for receptors at this location:

- 716 minutes of "green" glare with low potential to cause temporary after-image.
 388 minutes of "yellow" glare with potential to cause temporary after-image.







PV Feld 3 potential temporary after-image

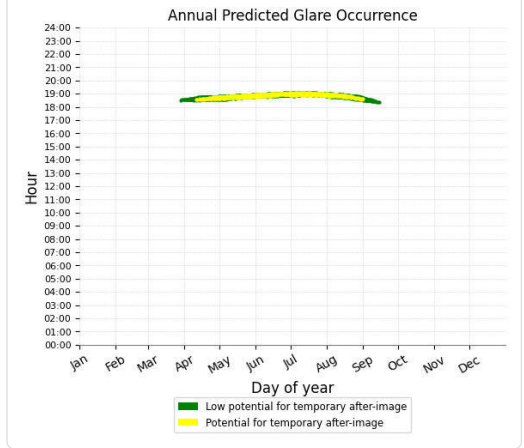
Component	Green glare (min)	Yellow glare (min)
OP: OP 1	995	0
OP: OP 2	0	0
OP: OP 3	1187	640
OP: OP 4	0	0
OP: OP 5	96	0

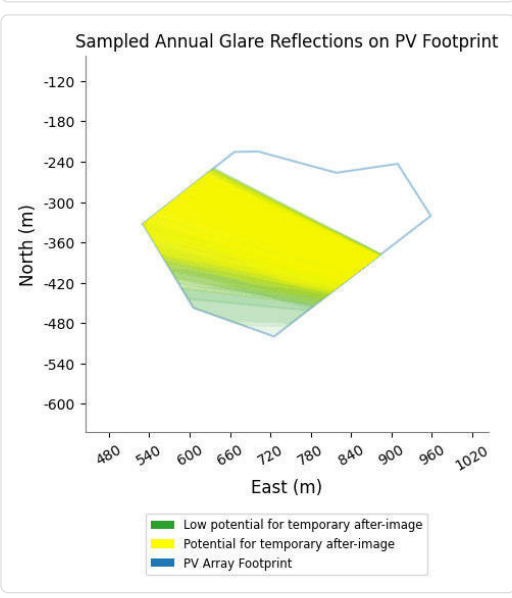
18.10.2022, 19:39 11 von 18

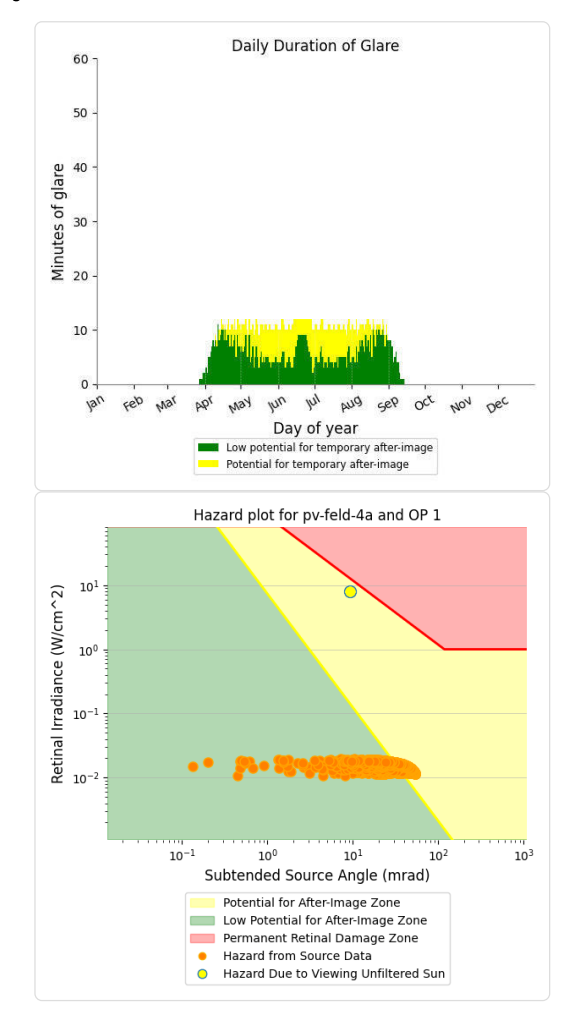
PV Feld 4a - OP Receptor (OP 1)

PV array is expected to produce the following glare for receptors at this location:

- 991 minutes of "green" glare with low potential to cause temporary after-image.
- 667 minutes of "yellow" glare with potential to cause temporary after-image.







PV Feld 4a - OP Receptor (OP 2)

No glare found

PV Feld 4a - OP Receptor (OP 3)

No glare found

PV Feld 4a - OP Receptor (OP 4)

No glare found

PV Feld 4a - OP Receptor (OP 5)

No glare found

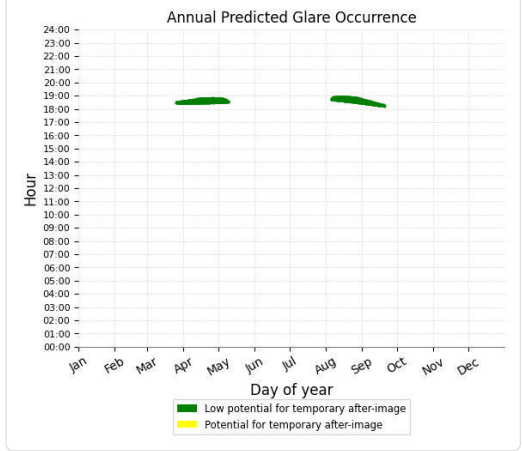
PV Feld 4b potential temporary after-image

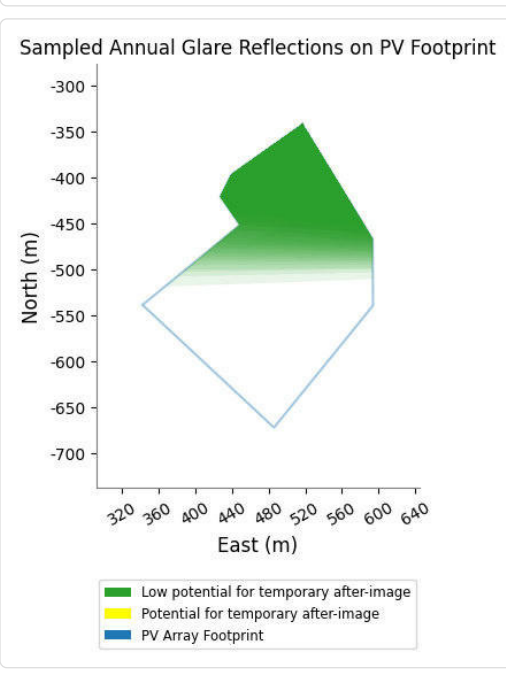
Component	Green glare (min)	Yellow glare (min)
OP: OP 1	983	0
OP: OP 2	928	1976
OP: OP 3	0	0
OP: OP 4	0	0
OP: OP 5	0	0

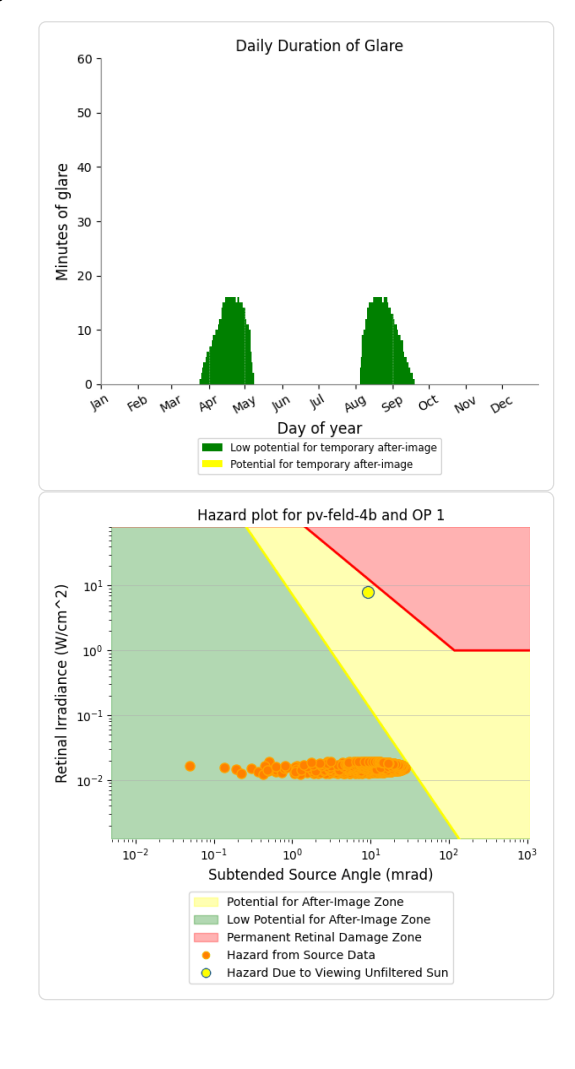
PV Feld 4b - OP Receptor (OP 1)

PV array is expected to produce the following glare for receptors at this location:

- 983 minutes of "green" glare with low potential to cause temporary after-image.
- 0 minutes of "yellow" glare with potential to cause temporary after-image.





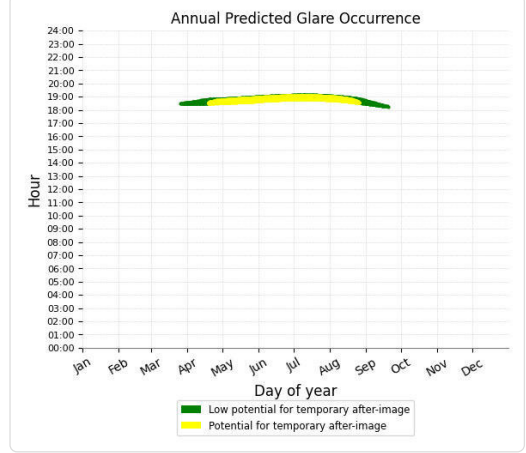


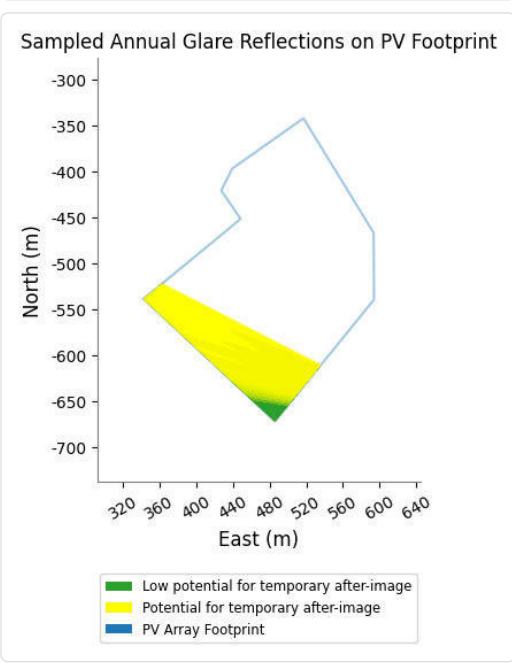
16 von 18 © Copyright Information | Document reference: 20221018.23133101| Disks Jacobi / SoffEG Gmid-H | Copy, transfer, extract without written nectice problèmed 18.10.2022, 19:39

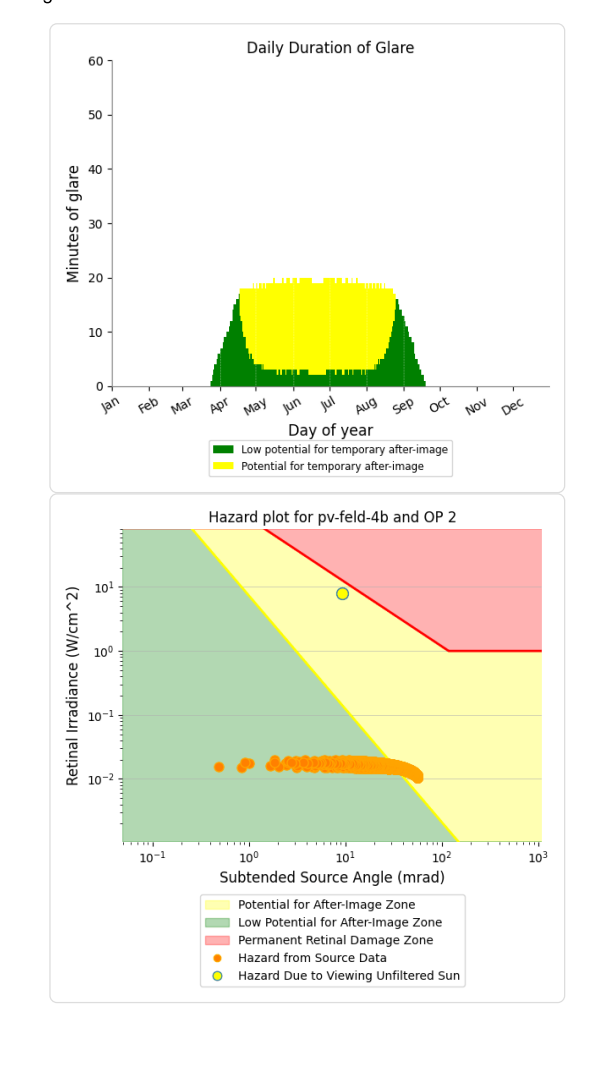
PV Feld 4b - OP Receptor (OP 2)

PV array is expected to produce the following glare for receptors at this location:

- 928 minutes of "green" glare with low potential to cause temporary after-image.
- 1,976 minutes of "yellow" glare with potential to cause temporary after-image.







PV Feld 4b - OP Receptor (OP 3)

No glare found

PV Feld 4b - OP Receptor (OP 4)

No glare found

PV Feld 4b - OP Receptor (OP 5)

No glare found

Assumptions

- Times associated with glare are denoted in Standard time. For Daylight Savings, add one hour.
- Glare analyses do not automatically account for physical obstructions between reflectors and receptors. This includes buildings, tree cover and geographic obstructions.
- Detailed system geometry is not rigorously simulated.
- The glare hazard determination relies on several approximations including observer eye characteristics, angle of view, and typical blink response time. Actual values and results may vary.
- The system output calculation is a DNI-based approximation that assumes clear, sunny skies year-round. It should not be used in place of more
 rigorous modeling methods.
- Several V1 calculations utilize the PV array centroid, rather than the actual glare spot location, due to algorithm limitations. This may affect results for large PV footprints. Additional analyses of array sub-sections can provide additional information on expected glare.
- The subtended source angle (glare spot size) is constrained by the PV array footprint size. Partitioning large arrays into smaller sections will reduce the

17 von 18

	Corneal	DNI (W/m^2) H	Ocular F	Reflectivity	Retinal	Subtended Glare Angle	Sun	Sun Azimuth	Sun Position	Sun Position	Sun Position	Reflected Reflected Sun Vector Sun Vector		Reflected Se (c) (c	Anzahl	Anfana	Fords	Zeitraum Z	Zeitraum Mir	Minuten Min	Minuten im	Freto Zalt	Lotate Zelt	Maccounte OD 1
2022-04-15 18-26-00	13		2	0.382831	0.013751	-	7	276.4	-0.986		12	9860	-0.163	0.003	15 Anr				33	0	4	+	18-23	18-31	Micopulation of A
2022-04-15 18:27:00		631.4118	2		0.014009		69	275.6			0.119	0.986	-0.164	0.018	16 Anr			7752		25.04.2022	· uc	22	18-23	18:32	
2022-04-16 18:25:00		637,972	2		0,013269	-	7.5	276,4			0.13	0,985	-0.168	0,028	17. Apr.					31.05.2022	10	254	18:22	18:41	
2022-04-16 18:26:00	0,008482	636,1101	2	0,37471	0,013519	9 0,035747	7,3	276,6		0,114	0,127	0,985	-0,169	0,024	18. Apr.		18:23	18:27 0	02.06.2022 04	04.06.2022	00	21	18:31	18:42	
2022-04-17 18:24:00		642,5956	2		0,013085	0,036348	7.7	276,6			0,135	0,984	-0,174	0,03	19. Apr.	2	18:23		06.06.2022 06.	06.06.2022	2	5	18:34	18:42	
2022-04-17 18:26:00		638,9045	7		0,013582		7,5	277			0,13	0,984	-0,176	0,021	20. Apr.					11.06.2022	7	27	18-33	18:45	
2022-04-17 18:30:00		631,4781	2		0.014631	15	6.9	277.8			0.12	0.984	-0.18	9000	21. Apr.			1288		13,06,2022	ıń	ıń	18:36	18:44	
2022-04-18 18:23:00		647,1643	2		0,012628		8,2	276,6		0,114	0,142	0,983	-0,179	0,035	22. Apr.	9		8 11		17.06.2022	Ŋ	S	18-37	18:45	
2022-04-18 18:26:00		641,6763	2		0.013357		7.7	277.2	ľ		0.135	0.983	-0.182	0.023	23 Anr					26.06.2022	un	10	18:39	18:47	
2022-04-18 18:27:00		639 8396	0		8095100		76	277.4	-0.983		0.132	0.983	-0.183	0.019	24 Anr		J.	7.23		04 07 2022	. «	32 25	18-38	18-50	
2022-04-19 18-23-00		651 4789	, ,		0012449		. 60	276 9			0.147	0.987	0.185	0.037	25 Anr					2202 2001		3 5	18-40	18:50	
2022-04-19 18-24-00		640 6240			0.012685		0 0	277.1	1		0.145	0.082	-0.186	0.033	76 Apr			1142		12 07 2022	. 4	9	18-30	18-50	
2022-04-19 18-25-00		647.8177	, ,		2000100		8.0	277.3	0.982		0.142	0.000	-0.187	0000	27 Anr					17 07 2022	a	36	19-30	18-50	
00.52.01 51 50 5005		544 101			0.013417		40.0	2777	0.000		0.137	0.000	0 100	5000	30 Apr			3115		CCUC 00 01	h 0	233	10.30	10.40	
2022-04-19 18:31-00	.12	636.9940	2 6		O OTAKES		200	270.4	0,302		0.137	0.001	0.103	0,000	20 400					24 00 2022	h u	13	10-30	10.36	
00:TE:01 61-00-2707		500,000	4 6		200100		0 0	1,074	1000		0,127	1050	0.100	1000	1 5					2707.00	0 4	77	07-01	10.30	
2022-04-20 16:23:00	cherono,	200,400	7 0		C+22100		00	2777	1000		261,0	10000	0.101	00000	30. 40.					23.00-00.62	0	0	10.07	10:33	
2022-04-20 18:25:00		032,307 CEN C133	4 6		0,0124713	16	0,0	2775		0.130	0.147	1000	0.192	600	2 Mai			10.32			400	Determination Definitions are Marrameter OB 1:	wienen sm	Marramete	
2022 04 20 18:27:00		646 0151			0,012108		000	277.0			0.143	0.001	0.105	0000	3 Wai	0 0		18-33			5	607 64	The stant are	e nementation and messperior of 1.	oocaaat.
2022-04-20 18-28-00		645,1105	1 0		0.013446		4 00	278.1			0.14	0.98	0.196	0.018	A Mai	, ,		18-34			T	410 00	mitten im	uni-Sentemb	410 Minutes in Juni September mit Schöckutz durch Blattwerk
2022-04-20 18:31:00		639,6753			0.014219		7.6	278.7			0.132	0.98	-0.199	0.005	s Mai			18.34				287 M	inuten im	Oktober-Mai	287 Minuten im Oktober-Mai ohne Sichtschutz durch Blattwerk
2022-04-21 18:23:00		656,7454	2		0,012308		6,8	277,5			0,155	86'0	-0,198	0,036	6. Mai.	7		18-33			Г	10 M	10 Minuten pro Tag (Max)	Tag (Max)	
2022-04-21 18:27:00	0,008655	649,6189	2		0,013265	8656600 9	80	278,3	ca.	0,142	0,145	6/6'0	-0,202	610'0	7. Mal.	9	18:26	18:35							
2022-04-22 18:23:00		659,3746	2	0,323798	0,01211	56685000 1	9,2	277,7	-0,978		0,159	876,0	-0,204	0,037	8. Mai.	10		18:35				ď	rameter fü	r Daten Bere	Parameter für Daten Bereinigung (Datensatz mit 821 Einträgen /-1447):
2022-04-22 18:24:00	70800,0	657,6121	2	0,330819	0,012339	9556600 6	6	277,9	-0,978	0,136	0,157	8/6'0	-0,205	0,033	9. Mai.	,	18:26	18:34			Y	ri	Zeitraum	ab 05:50 Uhr	1.: Zeitraum ab 05:50 Uhr bis Sonnenuntengang
2022-04-22 18:25:00	0,008252	655,846	2		0,012573	8789800 8	6,8		-0,978	0,139	0,154	8/6'0	-0,206	6700	10. Mai.	9	18:25	18:35				2	Sonnenst	and über Hor	2.: Sonnenstand über Horizont ist min. 5" (Standard: min. 10")
2022-04-22 18:27:00	0,008582	652,303	7	0,352789	0,013052	0,040037	9/8	278,5	-0,978	0,146	0,149	8/6'0	-0,208	0,021	11. Mai.	00	18:27	18:36				m	Daner de	Reflexion ist	3.: Dauer der Reflexion ist min. 5 Minuten pro Tag (Standard: min. 5 Minuten)
2022-04-22 18:28:00	0,008735	650,5261	2		0,013298		8,4	278,7	-0,978	0,149	0,147	8/6'0	-0,209	0,016	12. Mai.	6		18:36							
2022-04-22 18:31:00	0,00914	645,1742	2	0,384316	0,014063		90	279,3		0,16	0,139	726'0	-0,212	0000	13. Mai.	8	18:26	18:36							
2022-04-23 18:23:00	0,007659	661,9853	2		716110,0		9,5	277,9			0,164	726'0	-0,209	660'0	14. Mal.	00		18:37					Potent	ielle Ref	Potentielle Reflexionen
2022-04-23 18:24:00		660,2364	7		0,012143		6,3	278,1			0,162	0,977	-0,21	0,034	15. Mai.	00		18-37					Ma	Max Minuten pro Tag	reo Tae
2022-04-23 18:25:00		658,4839	7		0,012373	-	9,2	278,3			0,159	0,977	-0,211	0,03	16. Mail.	1		18:37		30			2000		0
2022-04-23 18:28:00		653,2049	7		0,013087		6,7	278,9			0,152	0,977	-0,215	0,018	17. Mai.	7		18.37							
2022-04-23 18:31:00		647,894	7		0,013841		F 10	279,5			0,144	0,976	-0,218	9000	18. Mai.	9 1		18:37		25					
2022-04-24 18:24:00		9278459	7		0,011952	9	9/6	278,3			0,166	0,976	-0,216	0,036	19. Mai.	6		18.38							
2022-04-24 18:23:00	313	061,1036	7 (0,012178		er c	278,5			0,104	0/5/0	/17/0-	25000	20. Mail.	0 1		18.38		20					
2022-04-24 18:28:00		1500,650	4 6		2882100			1,612			0,130	6/6/0	77'0-	6,000	23. Mal.	0 0	J.	18.38							
00:67:91 97-90-7707	2000000	6111,900	4 0	1/606.0	0,011000	0,030000	000	279.3	C/S/D	01,10	0,150	0,970	17770	CIONO	22. MBl.	0 0	10.20	10.00							
00.15.04 24 20.2007		CAS 0217	4 6		001300		0'0	370.0			0.146	0.075	0.734	0000	24 Mei	n c		10.30		20					
2022-04-24 18:34:00		665 4214	, ,		0011766		000	278.5		1	0171	0.074	0.333	0.037	25 Mai	n sa		18-30							
00.75.01 2F NO FEOR		7302 500			0001100		0.0	1 070	0.074		0010	0.020	0.533	0.033	76 8400) u		10.20		07		-			
2022-04-25 18-26-00		661 9764	2 6		0.012216		90	278.9			0.166	0.974	-0.224	0000	27 Mai	, ,		18-38		W					
2022-04-25 18:29:00		656.7676	2		1787100		91	279.5			0.159	0.974	-0.227	0.017	28 Mai	00		18:40		9					
2022-04-25 18:32:00		651.5272	2		0.013665		8.7	280.1	-	0.173	0.151	0.973	-0.23	0000	29. Mai.	00		18:41							
2022-04-26 18:23:00	0,007649	669,7121	7	0,305773	0,011615	0,040185	101	278,7	-0,973	0,149	0,176	0,973	-0,227	660'0	30. Mal.	9	18:32	18:41		0		100			
2022-04-26 18:24:00	956,000,0	668,0031	2	0,312374	0,011835	6 0,042027	10	278,9	-0,973	0,153	0,173	0,973	-0,228	0,035	31. Mai.	2	18:32	18:40		ngA nga	Apr	50 13	unr TZ	nut	and and and and and and and and and and
2022-04-26 18:28:00	59800'0	661,1321	7	0,340199	0,012757	0,042804	9,4	279,7	-0,972	0,166	0,163	0,972	-0,232	0,018	1. Jun.	4	18:31	18:39					F	1	62 22 51 8
00.00.00 30 50 5000	P. CONTRACT	Anna anna	,				1								THE PERSON NAMED IN COLUMN TWO IS NOT THE PERSON NAMED IN COLUMN TWO IS NAM			AND DESCRIPTION OF THE PERSON NAMED IN	ALL THE POOL IN THE PARTY IN					t	

2022-04-13 18:35:00 0,010565 599,1752 2 0,507872 0,027356 0,022612 0,027564 2,0222-04-13 18:38:00 0,0100695 603,5129 2 0,456326 0,028525 0,027564 2,0222-04-13 18:38:00 0,0100695 603,5129 2 0,456326 0,025035 0,027366 0,0222-04-13 18:38:00 0,0010695 613,528 2 0,456326 0,025035 0,027366 0,0222-04-13 18:38:00 0,0100695 613,528 2 0,456326 0,025136 0,027366 0,027266 2,0222-04-13 18:36:00 0,0100695 603,528 2 0,456326 0,025136 0,027366 0,027266 0,0100695 603,528 2 0,456326 0,025136 0,027366 0,02726-12 18:36:00 0,010761 628,6574 2 0,447336 0,025138 0,024471 0,02526 0,010769 64,324 6 0,447336 0,024471 0,02566 0,000905 64,324 6 0,447336 0,024471 0,02566 0,000905 64,324 6 0,447336 0,024471 0,02566 0,000905 64,324 6 0,447336 0,02443 0,02566 0,02646 0,000905 64,324 6 0,44736 0,02544 0,02567 0,000905 64,324 6 0,447336 0,024471 0,02566 0,000905 64,324 6 0,447336 0,024471 0,02566 0,000905 64,324 6 0,447336 0,024471 0,02566 0,000905 64,324 6 0,447336 0,024471 0,02566 0,000905 64,324 6 0,44736 0,024471 0,02567 0,000905 64,324 6 0,44736 0,024471 0,02567 0,000905 64,324 6 0,44736 0,02447 0,02567 0,000905 64,324 6 0,44736 0,02447 0,02567 0,000905 64,324 8 0,4474 0,0257 0,000905 64,324 6 0,4474 0,0257 0,0254 0,000905 64,324 6 0,4474 0,0257 0,02447 0,0257 0,000905 64,026 64,026 2 0,44747 0,0248 0,02447 0,0257 0,000905 64,026 64,026 2 0,44757 0,0244 0,0245 0,000905 64,024 6 0,0244 0,0244 0,0245 0,000905 64,024 6 0,000905 64,024 6 0,000905 64,024 6 0,0244 0,02	4.3 276.9 4.8 2775.9 6.3 2778.3 5.4 278.5 6.7 279.9 6.7 279.9 7.1 289.9 7.1 289.9 7.1 289.9 7.1 281.7 7.2 281.3 7.8 281.3 8.5 281.3 8.5 281.3 8.5 281.3 8.6 281.3 8.7 281.3 8.8 281.3 8.8 281.3 8.8 282.3 8.8 282.3		007 00000000000000000000000000000000000	1000000000000000000000000000000000000		-0,14		Apr.		Series Similar	2000		nro Tag	Zeitraum			Moseninkt OP 5
0,010/585 604,5129 2 0,496649 0,028632 0,023431 0,010/090 604,5122 2 0,51736 0,023431 0,010/090 604,5612 2 0,547336 0,023431 0,0010/495 613,5228 2 0,456526 0,022563 0,027559 0,010/495 613,5238 2 0,466526 0,027559 0,037559 0,010/495 613,1788 2 0,478436 0,027598 0,037578 0,010/496 655,1433 2 0,478446 0,037578 0,037578 0,010/496 655,1433 2 0,478446 0,037673 0,037578 0,010/496 653,2344 2 0,478446 0,028543 0,028444 0,010/496 653,434 2 0,478446 0,028548 0,018674 0,010/496 653,434 2 0,447878 0,028548 0,018674 0,010/496 653,534 2 0,447878 0,028548 0,018689 0,010/496 653,534 2 0,447878 0,028548 0,028689 0,010/496 653,534 2 0,444573 0,028548 <						-0,153		1000000	3		37 06.05.2022	2022 06.05.2022	9	5	5 18:37	18:44	a de mindes
0,010,040 604,3612 2 0,517536 0,028431 0,0023431 0,009,176 523,8008 2 0,455382 0,025463 0,027546 0,002956 0,009,176 518,6374 2 0,445375 0,025643 0,027556 0,027556 0,010,41 52,63743 2 0,445575 0,026643 0,027559 0,027559 0,010,42 52,6473 2 0,445775 0,026643 0,027576 0,026643 0,027579 0,010,42 52,6473 2 0,445764 0,026703 0,03704 0,037774 0,024471 0,024471 0,010,42 52,6473 2 0,445876 0,02643 0,024471 0,024471 0,024471 0,045866 0,024471 0,024471 0,024444 0,026703 0,024444 0,026703 0,024444 0,026703 0,024444 0,026703 0,024444 0,026703 0,024444 0,026703 0,024444 0,026703 0,024444 0,026703 0,024444 0,026703 0,024444 0,026703 0,024444 0,026703 0,024444 0,026703 0,024444 <t< td=""><td></td><td></td><td></td><td></td><td></td><td></td><td>-0,02</td><td>17. Apr.</td><td></td><td>18:36 18:36</td><td>711.0</td><td></td><td></td><td>9</td><td>18.37</td><td>18:46</td><td></td></t<>							-0,02	17. Apr.		18:36 18:36	711.0			9	18.37	18:46	
0,009176 6,23,8006 2,0,42851 0,023949 0,02556 0,010582 6,16,033 2,0,46582 0,02556 0,02756 0,010764 62,34,28 2,0,46588 0,02758 0,01756 0,010764 62,13,52 2,0,46588 0,025879 0,01756 0,010764 62,1343 2,0,47544 0,02378 0,033704 0,010769 62,1343 2,0,47544 0,025703 0,033704 0,010769 63,43246 2,0,47544 0,025703 0,03276 0,01070 64,0,003 63,2754 2,0,47584 0,02486 0,03206 0,01070 64,0,003 63,2754 2,0,47544 0,04586 0,03266 0,01070 64,0,003 2,0,44174 2,0,44174 0,04586 0,038821 0,01070 64,0,003 2,0,44177 0,044177 0,04488 0,038821 0,01070 64,1,501 2,0,44177 0,044177 0,044177 0,044177 0,0095 64,1,263 2,0,44177 0,02588 0,03881						-0,163		20. Apr.	1 1						6 18:40		
0,009882 C18,0932 2 0,456326 0,027296 0,000458 C18,13328 2 0,445787 0,007299 0,010764 C20,1768 2 0,445785 0,037299 0,010764 C20,1768 2 0,44736 0,02579 0,033704 0,010767 C20,1768 2 0,44736 0,025481 0,027536 0,010767 C20,126 2 0,475244 0,027673 0,024471 0,010767 C3,1754 2 0,448786 0,022493 0,032464 0,000953 C3,1743 2 0,448786 0,022493 0,032444 0,01077 C40,9035 2 0,446788 0,022444 0,03546 0,01077 C40,9035 2 0,446788 0,02548 0,03588 0,01076 C41,1743 2 0,446778 0,03588 0,03588 0,01076 C41,1743 2 0,446778 0,03588 0,03588 0,01076 C41,1743 2 0,446778 0,02589 0,03588 0,01076 C41,1743 2 0,446778 0,02589 0,03588 0,01076 </td <td></td> <td></td> <td></td> <td></td> <td></td> <td>-0,168</td> <td>20000</td> <td>21. Apr.</td> <td>2 13</td> <td>18:35 18:40</td> <td>10 24.05.2022</td> <td>2022 24.05.2022</td> <td></td> <td></td> <td>6 18:41</td> <td>18:49</td> <td></td>						-0,168	20000	21. Apr.	2 13	18:35 18:40	10 24.05.2022	2022 24.05.2022			6 18:41	18:49	
Q,010459 61,3528 2 Q,485775 Q,02643 Q,07559 Q,010544 60,1788 2 Q,485775 Q,02538 Q,03283 Q,01054 65,1433 2 Q,478436 Q,03283 Q,030283 Q,01059 65,1433 2 Q,47844 Q,032083 Q,032635 Q,01059 65,1434 2 Q,47846 Q,024431 Q,032635 Q,01067 63,2434 2 Q,47876 Q,02431 Q,032633 Q,01067 63,433 2 Q,47876 Q,02431 Q,02846 Q,01067 640,435 2 Q,44573 Q,02848 Q,02848 Q,01067 641,550 2 Q,44573 Q,02848 Q,02848 Q,01058 641,150 2 Q,44573 Q,02848 Q,02848 Q,01059 643,1453 2 Q,44573 Q,02848 Q,02848 Q,01059 643,1454 2 Q,44573 Q,02848 Q,02848 Q,01059 65,541 2					0,985	-0,171		22. Apr.		18:37 18:37	37 29.05.2022	2022 29.05.2022			5 18:44	18:51	
0,010543 620,1768 2 0,465885 0,025879 0,030283 0,010764 628,6574 2 0,447834 0,023976 0,033704 0,0010053 635,1433 2 0,478246 0,025038 0,033704 0,010059 636,126 2 0,478244 0,025936 0,033704 0,010095 636,224 2 0,438166 0,02483 0,02483 0,024841 0,01003 632,7514 2 0,488166 0,024843 0,02444 0,01003 640,933 2 0,448162 0,02484 0,02444 0,01003 640,933 2 0,44173 0,02548 0,03288 0,01003 640,933 2 0,44173 0,02548 0,03288 0,01003 640,533 2 0,44173 0,02548 0,03288 0,01003 640,534 2 0,44173 0,02548 0,03288 0,01003 640,534 2 0,44173 0,02548 0,03288 0,01003						-0,174		23. Apr.	1	18:36 18:36	i	2022 04.06.2022			5 18:46	18:53	
Q,010761 C,28,6574 2 0,447346 0,023188 0,033704 Q,0003946 C,26,1433 C,473646 0,025670 0,023646 Q,000353 CS8,9224 C,438786 0,02493 0,023643 Q,000353 CS8,9224 C,447836 0,02493 0,028643 Q,000353 CS8,9224 C,447783 0,022643 0,028643 Q,000054 CS8,9224 C,447783 0,022643 0,028643 Q,000057 CS,71743 C,447783 0,028643 0,028643 Q,01070 CS,17143 C,4467783 0,02858 0,03858 Q,01070 CS,17143 C,4467783 0,02858 0,03858 Q,01077 CS,17143 C,4467783 0,02858 0,02858 Q,01078 CS,17143 C,4467783 0,02858 0,02858 Q,01079 CS,17143 C,4441773 0,02867 0,02867 Q,01079 CS,1714 C,444177 0,02849 0,02867 Q,01079 CS,1717 C,444177 0,02						-0,187		4. Apr.	2 11	18:41 18:42	12 10.06.2022	2022 13.06.2022			22 18:48	3 18:55	
0,009346 635,1433 2 0,429456 0,0246431 0,025463 0,010059 636,0126 2 0,447844 0,024471 0,01049 634,2246 2 0,441846 0,024471 0,00952 638,9224 2 0,441846 0,024481 0,00952 638,9234 2 0,44186 0,024481 0,00952 630,935 2 0,475896 0,028392 0,01073 647,1743 2 0,466079 0,023539 0,028888 0,010635 643,1261 2 0,446079 0,023578 0,02887 0,010635 645,5641 2 0,44672 0,02358 0,032487 0,010535 645,5641 2 0,401797 0,034287 0,034287 0,010536 645,5641 2 0,401971 0,02347 0,034287 0,01054 645,6581 2 0,40197 0,02347 0,034287 0,01054 65,581 2 0,40197 0,02349 0,034287						-0,205		25. Apr.							21 18:52		
0,010059 626,0126 2 0,476244 0,026703 0,024471 0,01049 634,3344 2 0,438786 0,028043 0,032063 0,00953 638,9224 2 0,448162 0,028964 0,028045 0,0104 632,935 2 0,448162 0,028966 0,028444 0,0107 64,9335 2 0,44519 0,03596 0,037444 0,0107 64,9335 2 0,44519 0,03596 0,03744 0,00954 643,933 2 0,44573 0,02837 0,03889 0,00956 650,8574 2 0,440572 0,02869 0,03586 0,01053 645,5541 2 0,44262 0,02456 0,03596 0,01053 645,5541 2 0,42452 0,02456 0,03516 0,000538 645,5541 2 0,42452 0,02456 0,03516 0,000538 645,544 2 0,42452 0,02456 0,03516 0,000538 645,544 2 0,42462 0,02456 0,03516 0,000538 645,544 2 0,42452 0,02456						-0.21	K	26. Apr.			i						
0,010409 634,3246 2 0,438786 0,02959 0,02055 632,224 2 0,42136 0,0208045 0,00053 632,7514 2 0,44136 0,02866 0,028645 0,01070 643,932 2 0,46586 0,02864 0,028444 0,01070 2 64,931 2 0,46586 0,02854 0,03586 0,01070 2 64,1743 2 0,44157 0,03588 0,038821 0,00956 63,8374 2 0,46077 0,02857 0,02897 0,00956 63,8374 2 0,46071 0,02857 0,02897 0,009586 63,874 2 0,44157 0,02857 0,03897 0,009586 64,5581 2 0,42453 0,02857 0,03897 0,009586 64,5581 2 0,42453 0,02846 0,02857 0,009581 64,5584 2 0,42453 0,02846 0,03857 0,009582 64,5884 2 0,42643 0,02846 0,03857 0,009581 64,5884 2 0,42643 0,02846 0,03857 0,009582 65,38			0000000			-0,215	183	27. Apr.	2 10				9 9				
0,00953 538,9224 2 0,421436 0,028045 0,00353 538,9224 2 0,45148 0,02843 0,02844 0,01032 54,9235 2 0,45783 0,02843 0,02444 0,01072 54,9235 2 0,45781 0,02453 0,03544 0,010673 547,7143 2 0,46971 0,02358 0,03854 0,010675 547,1743 2 0,46971 0,02358 0,028821 0,000966 56,5574 2 0,39929 0,02377 0,02897 0,0009786 56,5541 2 0,44977 0,02897 0,02897 0,0009286 56,5541 2 0,47462 0,02456 0,03218 0,0009286 56,5747 2 0,47464 0,02516 0,02516 0,000938 56,5747 2 0,47464 0,02516 0,03256 0,000940 56,5446 2 0,47464 0,02516 0,03287 0,000958 56,5466 2 0,47						-0,218		28. Apr.									
0,0103 63,7514 2 0,458162 0,02566 0,028332 0,0009952 63,0553 2 0,452491 0,024444 0,010702 640,2015 2 0,44579 0,023539 0,035444 0,01057 641,1501 2 0,44679 0,023539 0,035821 0,01056 641,1501 2 0,44677 0,02555 0,03581 0,01057 642,1263 2 0,49571 0,02547 0,02546 0,01053 645,5641 2 0,40757 0,023478 0,033489 0,01053 645,5641 2 0,40757 0,02346 0,03348 0,01053 645,5641 2 0,40757 0,02346 0,03348 0,01054 65,5641 2 0,40154 0,03458 0,03428 0,01056 65,5747 2 0,47524 0,03458 0,03428 0,01056 65,5746 2 0,43751 0,03458 0,02546 0,0106 65,5746 2 0,437								29. Apr.			11 02.08.2022	100		9			
0,0009952 630,953 2 0,467683 0,02444 0,010702 640,9335 2 0,44291 0,03588 0,010702 640,9335 2 0,441573 0,03588 0,01012 641,1501 2 0,441573 0,037888 0,000956 639,332 2 0,441573 0,037881 0,03881 0,000956 639,342 2 0,441573 0,037881 0,03881 0,000956 63,5674 2 0,340757 0,037569 0,038889 0,010536 645,5581 2 0,44757 0,037569 0,03216 0,000546 645,5581 2 0,44759 0,02348 0,03216 0,000547 64,5582 2 0,44767 0,02347 0,03216 0,000547 64,568 2 0,42643 0,03248 0,03216 0,010346 65,2046 2 0,43085 0,03246 0,03216 0,010346 65,2046 2 0,43085 0,03297 0,04085 </td <td></td> <td></td> <td></td> <td></td> <td>0,972</td> <td>-0,233</td> <td></td> <td>30. Apr.</td> <td></td> <td>18:36 18:43</td> <td>13</td> <td></td> <td></td> <td></td> <td></td> <td></td> <td></td>					0,972	-0,233		30. Apr.		18:36 18:43	13						
Q,010702 640,9035 2 0,422491 0,02453 0,03588 Q,010707 641,1743 2 0,4041573 0,037888 0,010126 641,1501 2 0,441573 0,023586 0,03888 Q,000964 639,3923 2 0,490711 0,025812 0,026871 Q,000966 650,8574 2 0,93929 0,023587 0,02687 Q,000938 645,541 2 0,42462 0,024566 0,038889 Q,000938 645,5541 2 0,42462 0,024566 0,033889 Q,000938 645,541 2 0,42462 0,024566 0,033889 Q,000938 645,546 2 0,42462 0,02456 0,03246 Q,000942 645,546 2 0,42462 0,02464 0,02516 Q,000942 645,546 2 0,42462 0,024649 0,02846 Q,000942 645,546 2 0,42462 0,024649 0,02846 Q,00094 645,546 2 0,4246						-0,234	100	I. Mai.	2 10	18:36 18:41	17			Potentielle	Reflexionen	Potentielle Reflexionen am Messpunkt OP 5:	rt OP 5:
0,010673 647,1743 2 0,406079 0,023539 0,023821 0,0010526 641,1501 2 0,441773 0,025538 0,025821 0,002964 639322 2 0,450711 0,025212 0,026871 0,002966 650,8574 2 0,450711 0,025212 0,026871 0,002966 650,8574 2 0,407572 0,023278 0,025879 0,010538 655,6541 2 0,407572 0,023289 0,023288 0,002928 646,5581 2 0,425483 0,024644 0,02328 0,02328 0,02328 0,003288 0,0010012 652,8128 2 0,401091 0,023262 0,034287 0,0009324 652,9454 2 0,435214 0,02218 0,02328 0,02328 0,00328 0,010004 652,0375 2 0,410389 0,02328 0,02328 0,002928 0,010004 652,0375 2 0,410389 0,02328 0,02328 0,003286 0,010005 666,5746 2 0,43524 0,02182 0,02328 0,02328 0,003286 0,000928 657,4712 2 0,40438 0,023281 0,032364 0,000928 654,1084 2 0,42134 0,025281 0,035246 0,000928 664,433 2 0,438299 0,023291 0,02738 0,02328 0,003294 0,000992 657,125 2 0,40028 0,022739 0,023739 0,023736 0,000992 657,125 2 0,40028 0,022739 0,023739 0,023736 0,000992 657,125 2 0,40028 0,022739 0,023739 0,023736 0,000992 657,125 2 0,40028 0,022739 0,023739 0						-0,236		3. Mai.		18:36 18:43	63			1	1 Minuten	111 Minuten pro Jahr (Summe gesamt)	ne gesamt)
0,010126 641,1501 2 0,441573 0,023528 0,028821 0,009964 639,3423 2 0,440771 0,02681 0,02681 0,009066 65,6574 2 0,490727 0,028821 0,02681 0,010535 66,5581 2 0,440772 0,028889 0,03889 0,0010536 66,5581 2 0,442483 0,024566 0,033398 0,001010 652,8128 2 0,442483 0,034287 0,0334287 0,009289 647,668 2 0,445428 0,034287 0,034287 0,009391 647,668 2 0,445428 0,02518 0,035469 0,009904 665,8209 2 0,445428 0,02518 0,035469 0,01040 655,8209 2 0,43521 0,03597 0,040386 0,01059 665,8209 2 0,40351 0,03597 0,034825 0,01060 665,8209 2 0,33826 0,021925 0,04038 0,01060 665,8209 2 0,34088 0,03597 0,035864 0,01063 665,8209 2 0,34498 0,0					1/6'0	-0,24	-0,015 4	4. Mai.		18:41 18:41				05	8 Minuten	m Juni-Septen	78 Minuten im Juni-September mit Sichtschutz durch Blattwerk
0,009964 639,3923 2 0,469711 0,026361 0,0261 0,009965 636,874 2 0,393929 0,02536 0,02636 0,010533 549,1263 2 0,407572 0,02366 0,033998 0,009286 645,5381 2 0,42462 0,02456 0,02516 0,009286 645,53277 2 0,477215 0,023462 0,02516 0,009289 645,53277 2 0,477215 0,032462 0,03216 0,009281 647,668 2 0,440193 0,023428 0,032442 0,009542 645,846 2 0,440194 0,023462 0,040348 0,010346 650,8746 2 0,44014 0,02347 0,04034 0,010346 650,8209 2 0,46038 0,02397 0,04038 0,009542 657,412 2 0,46038 0,02394 0,03354 0,009543 657,412 2 0,46038 0,02394 0,03374 0,009544 657,125 2 0,46038 0,02394 0,03374 0,009556 657,1341 2 0,35445 0,02334 <td></td> <td></td> <td></td> <td></td> <td>296'0</td> <td>-0,251</td> <td>-0,034 5</td> <td>5. Mai.</td> <td></td> <td>18:40 18:40</td> <td>.0</td> <td></td> <td></td> <td></td> <td>3 Minuten</td> <td>m Oktober-Ma</td> <td>33 Minuten im Oktober-Mai ohne Sichtschutz durch Blattwerk</td>					296'0	-0,251	-0,034 5	5. Mai.		18:40 18:40	.0				3 Minuten	m Oktober-Ma	33 Minuten im Oktober-Mai ohne Sichtschutz durch Blattwerk
Q,000005 GG,05574 2 0,399299 0,023278 0,02697 Q,000593 G4,21263 2 0,407275 0,03889 Q,009288 G4,55411 2 0,42462 0,034596 0,033398 Q,009288 G4,52477 2 0,37715 0,37715 0,37313 Q,009289 G,524128 2 0,44548 0,024542 0,03213 Q,000789 GG,524128 2 0,445428 0,024542 0,034287 Q,0007834 GG,5446 2 0,445648 0,04737 0,034287 Q,0007842 GG,5446 2 0,445648 0,04737 0,034584 Q,000842 GG,5466 2 0,44648 0,04737 0,034584 Q,000843 GG,52097 2 0,440389 0,02397 0,040511 Q,000854 GG,7412 2 0,440389 0,02394 0,030544 Q,000856 GG,7412 2 0,44038 0,02394 0,032846 Q,000958 GG,7412					796,0	-0,252		6. Mai.		18:37 18:44	4				7 Minuten	7 Minuten pro Tag (Max)	
0,010593 649,1263 2 0,407572 0,023697 0,0336889 0,000535 655641 2 0,425483 0,024644 0,02398 0,0009368 646,5581 2 0,425483 0,024644 0,02398 0,0009389 647,9277 2 0,377215 0,022229 0,032123 0,0009232 645,688 2 0,445688 0,024248 0,024248 0,024248 0,024248 0,024248 0,024248 0,024248 0,024248 0,024248 0,024248 0,024248 0,024248 0,024248 0,024248 0,024248 0,024248 0,024248 0,024248 0,021005 666,5209 2 0,435244 0,02182 0,024248 0,021005 666,5209 2 0,44232 0,024281 0,02426 0,021005 666,5209 2 0,44232 0,024281 0,02426 0,021005 666,5209 2 0,44234 0,024281 0,02426 0,021005 666,433 2 0,44434 0,024294 0,024294 0,024294 0,024294 0,0209294 654,433 2 0,42444 0,0209294 654,433 2 0,42444 0,0209294 654,437 2 0,44084 0,022491 0,027394 0,025256 0,026256 666,4774 2 0,44084 0,02445 0,024				0,15	896'0	-0,252	7 0,016 7	7. Mai.		18:35 18:42	75						
0,010535 545,5541 2 0,42462 0,024556 0,033398 0,0005986 557,9377 2 0,427483 0,02464 0,02516 0,009289 557,9377 2 0,427249 0,025229 0,032123 0,009298 557,9377 2 0,401091 0,023452 0,0334287 0,009542 645,946 2 0,404542 0,02518 0,02546 0,009542 645,946 2 0,403514 0,02518 0,025713 0,010940 652,0975 2 0,405524 0,021392 0,026955 0,010051 660,5209 2 0,340524 0,021392 0,02536 0,009595 657,412 2 0,4038 0,02397 0,034825 0,009595 657,412 2 0,4038 0,02393 0,03356 0,009595 657,412 2 0,4038 0,02393 0,03356 0,009595 657,412 2 0,4038 0,02393 0,03356 0,009595 657,413 2 0,32499 0,025293 0,03536 0,009595 657,413 2 0,32499 0,025293 0,03536 0,009595 657,413 2 0,34099 0,02539 0,02539 0,025356 0,009595 657,413 2 0,34049 0,02539 0,025356 0,009595 657,413 2 0,34049 0,02391 0,027595 0,02556 0,009595 657,413 2 0,34049 0,02391 0,027595 0,02556 0,009595 657,413 2 0,34049 0,02391 0,027595 0,025379 0,02536 0,009595 657,1261 2 0,400278 0,023319 0,027576 0,009595 657,1261 2 0,400278 0,023419 0,027575 0,034877 0,009595 657,1261 2 0,34087 0,02446 0,02445 0,02445 0,034477 1 0,008594 677,742 2 0,34889 0,02446 0,02445 0,02445 0,02445 0,02445 0,02445 0,02445 0,02445 0,02446 0,02445 0,0244				37 0,147	196'0	-0,253	-0,02	8. Mai.	2 10	18:41 18:43	13				Paramete	r für Daten Bei	Parameter für Daten Bereinigung (Datensatz mit 389 Einträgen /-716):
0,009368 646,5581 2 0,423483 0,024644 0,02516 0,009289 65,527277 2 0,4377215 0,0222345 0,032133 0,010102 65,28128 2 0,441091 0,022452 0,034287 0,009542 645,53464 2 0,441091 0,023452 0,034287 0,009542 645,53464 2 0,441091 0,023452 0,032469 0,000542 645,5346 2 0,441098 0,023713 0,009542 645,2346 2 0,441098 0,02397 0,034825 0,009591 665,8209 2 0,441098 0,02397 0,034825 0,009591 665,8209 2 0,441098 0,02391 0,03536 0,009594 654,1084 2 0,44139 0,02391 0,03546 0,000296 656,3341 2 0,938299 0,023930 0,03391 0,035476 0,009592 654,1397 2 0,938299 0,023930 0,035340 0,009592 667,1351 2 0,938299 0,023930 0,023596 65,1251 2 0,936405 0,023911 0,027596 0,009595 667,1341 2 0,938299 0,023930 0,023596 0,02391 0,027596 0,009595 667,1341 2 0,938299 0,023931 0,027556 0,009595 667,1251 2 0,94048 0,02311 0,027595 0,03934 0,02391 0,027595 0,03934 0,02391 0,027595 0,03934 0,02391 0,027595 0,03934 0,02391 0,027595 0,03934 0,02391 0,027595 0,03934 0,02391 0,027595 0,03934 0,02391 0,027595 0,03934 0,02391 0,027595 0,03934 0,02391 0,027595 0,03934 0,02391 0,027595 0,03934 0,02391 0,027595 0,03934 0,02391 0,027595 0,03934 0,02391 0,027595 0,03934 0,027595 0,03934 0,027595 0,03934 0,027595 0,03934 0,027595 0,03934 0,027595 0,03934 0,027595 0,03934 0,027595 0,03934 0,03754 0,03554 0,03754 0,03554 0,03754 0,03554 0,03754 0,03554 0,03754 0,03554 0,03754 0,03554 0,03754 0,03554 0,03754 0,03554 0,03754 0,03554 0,03754 0,03554 0,03754 0,03554 0,03754 0,03554 0,03755 0,			-0'30p	14 0,142				9. Mai.		18:41 18:45	12				1.: Zeitra	m ab 05:50 Ut	1.: Zeitraum ab 05:50 Uhr bis Sonnenuntergang
0,009289 657,9277 2 0,377215 0,003229 0,372123 0,0032123 0,001002 52,812.88 2 0,401091 0,003486 0,003486 0,003486 0,003486 0,003486 0,003486 0,003486 0,003518 0,003518 0,003518 0,003518 0,003518 0,003518 0,003518 0,004695 0,001004 55,2097 2 0,410389 0,023418 0,004695 0,001005 0,605209 2 0,410389 0,023418 0,003546 0,000595 0,000596 0,0							03	10. Mai.			13				2.: Sonne	nstand über Ho	2.: Sonnenstand über Horizont ist min. 5" (Standard: min. 10")
0,000002 652,8128 2 0,401091 0,023452 0,034287 0,0099831 647,668 2 0,424428 0,024345 0,028469 0,0009631 647,668 2 0,435214 0,02218 0,028469 0,0009642 655,29464 2 0,435214 0,02218 0,02518 0,02513 0,010046 652,0375 2 0,4435218 0,021925 0,040285 0,010046 652,2037 2 0,445248 0,021782 0,040856 0,000958 657,4712 2 0,40438 0,022381 0,032364 0,009549 654,1084 2 0,44318 0,024544 0,023964 0,009592 657,4712 2 0,40438 0,022381 0,032364 0,009592 657,4712 2 0,34043 0,023793 0,033742 0,009992 657,437 2 0,345462 0,021333 0,033742 0,009992 657,437 2 0,34646 0,022391 0,027356 0,020956 657,1251 2 0,400278 0,023739 0,025756 0,009595 657,137 2 0,346465 0,023739 0,025756 0,009595 657,137 2 0,346465 0,023739 0,025756 0,009595 657,137 2 0,346465 0,024163 0,028779 0,02145 0,02445 0,02445 0,02445 0,02445 0,02445 0,02445 0,02445 0,02445 0,0244575 1								11. Mal.	9		91				3.: Dauer	der Reflexion i	3.: Dauer der Reflexion ist min. 5 Minuten pro Tag (Standard: min. 5 Minuten)
0,009931 647,668 2 0,4246-128 0,024379 0,029469 0,009941 647,568 2 0,437214 0,02518 0,025713 0,010346 666,5746 2 0,437054 0,02518 0,025713 0,010346 656,5746 2 0,4370556 0,021925 0,040595 0,010404 652,0975 2 0,410389 0,025397 0,034825 0,009595 657,4712 2 0,4038 0,02391 0,029364 0,009595 657,4712 2 0,40438 0,023981 0,029364 0,009595 656,1084 2 0,42143 0,025981 0,023564 0,009592 666,1341 2 0,32499 0,023593 0,033504 0,009592 667,0377 2 0,37699 0,025391 0,027594 0,009592 667,1377 2 0,37694 0,023911 0,027594 0,009595 667,1377 2 0,37694 0,023911 0,027595 0,0255756 0,009595 667,1747 2 0,40845 0,024463 0,0225756 0,009595 667,1747 2 0,34849 0,024463 0,02445 0,0244								12. Mai.			91						
0,0009642 661,5464 2 0,435214 0,02513 0,025713 0,0003642 661,5464 2 0,430580 0,022925 0,440595 0,0010846 656,5209 2 0,430589 0,022937 0,034825 0,000901 665,8209 2 0,430589 0,022910 0,03536 0,000908 657,4712 2 0,44038 0,022913 0,02596 60,0341 2 0,938162 0,02913 0,02956 60,0341 2 0,938162 0,02913 0,03536 0,00291 661,433 2 0,938299 0,02393 0,035375 0,002992 665,433 2 0,938299 0,02393 0,035375 0,009992 667,437 2 0,936405 0,02391 0,027596 0,002992 667,437 2 0,938405 0,02391 0,027596 0,002995 667,437 2 0,938405 0,02391 0,027596 0,002995 667,437 2 0,938405 0,02391 0,027556 0,009995 667,437 2 0,938405 0,02311 0,027596 0,009995 667,437 2 0,938405 0,02311 0,027596 0,009995 667,437 2 0,938405 0,02311 0,027596 0,009995 667,437 2 0,938405 0,0244								13. Mal.			73			1			
0,010346 660,5746 2 0,340356 0,021325 0,040095 0,010346 660,5746 2 0,340346 0,021325 0,040095 0,0010404 652,097 2 0,440380 0,02397 0,034825 0,0010051 660,8209 2 0,365246 0,021782 0,030511 0,00095 657,4712 2 0,46043 0,023981 0,023964 0,009749 654,1084 2 0,421143 0,024574 0,02934 (64,433 2 0,397499 0,023939 0,035476 0,009992 667,1341 2 0,397499 0,022393 0,035476 0,009992 667,1377 2 0,354642 0,022391 0,027534 0,009995 665,1371 2 0,34405 0,022391 0,027534 0,009995 665,1371 2 0,400278 0,023911 0,027534 0,009995 665,1371 2 0,400278 0,023911 0,027575 0,009995 667,1377 2 0,438489 0,02313 0,035756 0,009995 667,1374 2 0,400278 0,02311 0,027575 0,009994 677,1427 2 0,400278 0,02311 0,027575 0,031489 0,02311 0,027575 0,009994 677,1427 2 0,400278 0,02311 0,027575 0,031489 0,02311 0,027575 0,031489 0,02311 0,027575 0,031489 0,02311 0,0314575 1								14. Mai.	9		17				Pote	ntielle Re	Potentielle Reflexionen
0,010,004 652,0075 2 0,410389 0,02397 0,034825 0,002909 655,2099 2 0,962346 0,021782 0,030821 0,000992 655,2099 2 0,962346 0,021782 0,030854 0,000958 657,4712 2 0,40438 0,023813 0,023964 0,009749 654,1084 2 0,44134 0,024544 0,023964 0,002596 660,1341 2 0,937499 0,023593 0,035745 0,009992 656,732 2 0,354462 0,021333 0,035742 0,009992 655,732 2 0,354462 0,021333 0,025756 0,009955 665,737 2 0,3584405 0,022739 0,025756 0,009954 665,737 2 0,3584405 0,023739 0,025756 0,009595 665,737 2 0,3584405 0,023739 0,025756 0,009595 665,737 2 0,35849 0,023739 0,025756 0,009595 665,737 2 0,35849 0,023739 0,023759 0,023779 0,023994 677,7427 2 0,35849 0,02345 0,0314577 1								15. Mai.			71					May Minutes are Tea	A PAPA Turk
0,000901 665,8209 2 0,365246 0,021392 0,030511 0,010051 666,8209 2 0,388762 0,022981 0,08536 0,00058 657,4712 2 0,48438 0,023813 0,039364 0,000296 650,1341 2 0,327939 0,023503 0,035742 0,000901 671,9503 2 0,357462 0,022793 0,035742 0,000992 667,0327 2 0,37669 0,022579 0,035744 0,009959 667,0327 2 0,37669 0,022911 0,027594 0,009959 667,1377 2 0,384405 0,022911 0,027596 0,009596 667,1747 2 0,48845 0,024463 0,028776 0,009596 667,747 2 0,48845 0,024463 0,028777 0,000599 675,7427 2 0,3859 0,0204463 0,0244577 0,0005996 672,7427 2 0,3859 0,020445 0,0344575 1						-0,272		16. Mai.			17	30				ALICE TARREST	97.00
0,010051 660,8209 2 0,38852 0,022813 0,03536 0,00958 657,712 2 0,04048 0,023813 0,02384 0,02384 0,00954 654,7182 2 0,40438 0,023813 0,02384 0,009549 654,1084 2 0,421144 0,0256 650,1341 2 0,397499 0,02393 0,033742 0,009992 654,433 2 0,387499 0,022793 0,037742 0,009999 655,4137 2 0,358409 0,022507 0,036406 0,00999 655,4137 2 0,384405 0,022911 0,0275734 0,009956 652,1261 2 0,400278 0,023911 0,027575 0,009994 677,742 2 0,40845 0,0234163 0,025756 0,009994 677,742 2 0,40845 0,0234163 0,025756 0,009994 677,742 2 0,334899 0,02345 0,0314577 1		æ			ੱ			17. Mai.	4		9,	95					
0,00958 657,4712 2 0,40438 0,023813 0,029564 0,009749 654,1084 2 0,421143 0,025913 0,029564 0,000749 654,1084 2 0,421143 0,026579 0,028577 0,010296 666,1341 2 0,397499 0,0223503 0,0357742 0,009992 667,0527 2 0,354642 0,022507 0,036466 0,000995 655,137 2 0,35469 0,022507 0,036466 0,000995 655,137 2 0,394405 0,022911 0,0275734 0,009595 656,1251 2 0,400278 0,023911 0,027575 0,009394 677,742 7 2 0,434829 0,02345 0,02575 0,009394 677,742 7 2 0,334829 0,02345 0,03587 0,0009394 677,742 7 2 0,334829 0,02345 0,034577 1							Ţ	18. Mai.			100	36					
0,0095749 664,1084 2 0,447143 0,024574 0,028041 0,0005749 666,1341 2 0,397499 0,023593 0,035476 0,010316 664,433 2 0,392499 0,023593 0,035742 0,000991 671,5503 2 0,354462 0,021333 0,033521 1,000992 665,4137 2 0,386409 0,022911 0,027534 0,0009594 665,4137 2 0,386409 0,022731 0,027556 0,000954 667,744 2 0,44845 0,023739 0,025756 0,000954 677,7427 2 0,33489 0,020345 0,03145 0,03145 0,0314575 1						-0,283		19. Mai.			18	ra I					
0,000299 663,1341 2 0,93299 0,02390 0,035475 0,001331 6,64433 2 0,38299 0,023039 0,035371 1 0,009992 667,0527 2 0,376698 0,02291 0,027546 0,009992 667,1377 2 0,376698 0,022911 0,027544 0,009995 665,1361 2 0,400278 0,023139 0,025756 0,009594 677,7427 2 0,40845 0,024463 0,02887 0,009594 677,7427 2 0,34849 0,020445 0,02391 0,027576 0,009594 677,7427 2 0,34849 0,020445 0,0244	7							20. Mail.			00	e c					
0,000316 646,433 2 0,382937 0,022393 0,037342 0,0003031 671,9503 2 0,354462 0,021333 0,033521 1 0,000992 657,6513 2 0,376698 0,022507 0,036406 0,009995 655,4137 2 0,384405 0,022911 0,027534 0,009905 665,4137 2 0,400278 0,023739 0,025756 0,009955 666,4774 2 0,400278 0,023739 0,02887 0,009394 677,7427 2 0,334899 0,020329 0,03987 1 0,008946 672,911 2 0,3559 0,02145 0,031457 1				~				21. Mai.	7		9	2					
0,009091 871,5003 2 0,354462 0,021333 0,033521 0,0009992 667,0527 2 0,354689 0,022507 0,036406 0,000999 655,4137 2 0,384405 0,022501 0,025754 0,0090954 657,137 2 0,400278 0,02391 0,025756 0,009594 677,7427 2 0,434889 0,020345 0,031574 2 0,034889 0,020345 0,031574 2 0,034889 0,020345 0,031574 0,008887 0,03145 0,03145 0,0314575 1						-0,291		22. Mai.			d)	23					
0,008992 663,0527 2 0,37688 0,022507 0,036406 0,00899 655,4137 2 0,384405 0,022911 0,027534 0,009095 662,1261 2 0,400278 0,023739 0,025756 0,009594 677,7427 2 0,43845 0,024163 0,02887 0,009594 677,7427 2 0,33489 0,02025 0,039171 0,00886 672,9012 2 0,3559 0,020145 0,0314575 1								23. Mai.			9	15					
0,00899 665,4137 2 0,384405 0,022911 0,027534 0,009096 662,1261 2 0,400278 0,023163 0,025756 0,009555 660,4774 2 0,40845 0,024163 0,02887 0,009394 677,7427 2 0,334889 0,020529 0,039171 0,008896 672,9012 2 0,33589 0,02145 0,031457								24. Mai.			d)						
0,009096 662,1261 2 0,400278 0,023739 0,025756 0,0090555 660,4774 2 0,40845 0,020459 0,02887 0,009394 677,4427 2 0,334899 0,020329 0,03917 1 0,008986 672,9012 2 0,3559 0,02145 0,031457 1						-0,297		25. Mail.			99	10					
0,0095655 660,4774 2 0,40845 0,024163 0,02887 0,009364 677,427 2 0,334889 0,020329 0,039171 0,0008996 672,9012 2 0,359 0,02145 0,031575						-0,299		26. Mai.	2		05						9 9 9 9 9
0,009394 677,7427 2 0,334889 0,020329 0,039171 0.008896 672,9012 2 0,3559 0,02145 0,031575						-0'3		27. Mai.			9	50		-	-	-	
0.008896 6/2,9012 2 0.3559 0.02145 0.031575			Yies			-0,296		28. Mai.	2013		11						
						-0,299		29. Mail.			110	0		The last of the la			
0,010165 666,4008 2 0,385904 0,023034 0,035985						-0,303		30. Mai.			74			E	2	ų	. In . In . In . In . In
0,010162 069,2782 2 0,372168 0,02231 0,038181			23523			-0,306		33. Mar.			75	de	the '			ut A	
0,010026 666,0272 2 0,387496 0,023116 0,034775		π.			9			1. Jun.			74	st	57	9		10	3 1
0,00961 671,8813 2 0,366357 0,022047 0,035119							35	2. Jun.			25						
0,00898 670,2696 2 0,373819 0,022442 0,02897						-0,312		3. Jun.			24						
0,009497 665,4155 2 0,397091 0,023667 0,029184		Τ.			0	-0,315		4. Jun.			53						
2022-05-10 18:39:00 0,009067 677,6595 2 0,346489 0,021031 0,034345 11	11,1 28	284,6 -0	-0,95 0,248	18 0,192	0.95	-0,313	-0,012 5	S. Jun.	3 CODY 1	18:46 18:50	With Dat-writter						

Irradiance 2022-09-19 06-38-00 (0,00033) 2022-09-19 06-39-00 (0,00093) 2022-09-19 06-39-00 (0,00993) 2022-09-20 06-39-00 (0,001016) 2022-09-20 06-39-00 (0,00093) 2022-09-20 06-38-00 (0,01024) 2022-09-20 06-38-00 (0,01024) 2022-09-20 06-38-00 (0,01024) 2022-09-20 06-38-00 (0,01031) 2022-09-20 06-39-00 (0,01031) 2022-09-20 06-39-00 (0,01031) 2022-09-20 06-39-00 (0,01031) 2022-09-20 06-39-00 (0,01039) 2022-09-20 06-39-00 (0,01039) 2022-09-20 06-39-00 (0,01039) 2022-09-20 06-39-00 (0,01039) 2022-09-20 06-39-00 (0,01039) 2022-09-20 06-39-00 (0,01039) 2022-09-20 06-39-00 (0,01039) 2022-09-20 06-39-00 (0,01039) 2022-09-20 06-39-00 (0,01039) 2022-09-20 06-39-00 (0,01039)	443,645 548,408 548,408 548,408 548,7193 549,748 551,4279 553,775 554,419 554,4149 555,4149 556,439 556,439 556,439 556,439 556,439 556,231 558,231	2 0,2	Irra	Irradiance Glare Angle			-	17		÷	Herriestera	Reflected Reflected Selected Selected) e (t	Anzahi		020000	Zeitraum	Zeitraum N	finuten h	Minuten Minuten im
	544,3615 546,7193 546,7193 546,7193 549,0758 551,4775 551,736 552,0815 556,4149 556,4149 556,4139	000	4		Attitud	Azim	2	8	Pos	6.5	Sun	Vector	Tag.	Š	Anfang				pro Tag Z	Erste Zeit Letz
	546,0369 546,739 546,739 549,0738 551,479 549,7417 549,7418 556,743 55	2 2 0									7		S. Apr.		06:28	2.72	07.04.2022 0	05.09.2022	12	1687 05:57 06:28
	546,7193 551,479 551,479 547,4017 549,743 552,0015 556,743 556		0,536007 0,0	0,026215 0,025095		0,3 92,5	2,5 0,999	99 -0,044	44 0,006	666'0 9	9 0,03	5 0,033	6. Apr.	4 4	06:25	06:28			4	Potentialla Reflexionen am Messenunk OD d:
	549,0758 551,4279 583,7407 549,7438 552,0815 552,0815 556,439 556,439 556,439 556,439 556,439 556,439 556,439 556,439 556,439 556,439 557,2114 558,635 564,2711 558,535 564,2711 558,535 564,2711 558,535 564,2711 558,535 564,2711 558,535 564,2711 558,535 564,2711 558,535 564,2711 558,535 564,2711 558,535 564,2711												S And		16:30	06-28				1687 Minutes one labr Cumma ascantil
	551,4279 553,7756 544,748 555,0129 556,7439	2 0	-	10				ľ					9. Apr.		06:19	06.27			Ī	1091 Minuten im Juni-September mit Sichtschutz durch Blattwerk
	553,7756 549,4417 554,4449 556,44149 556,433 556,233 557,214 558,50120 558,5	2 0										Ī	10. Apr.		91:90	06.26				596 Minuten im Oktober-Mai ohne Sichtschutz durch Blattwerk
	547,4017 549,7438 552,0815 554,149 556,7439 555,744 559,623 557,3214 559,6257 561,925 564,2211 563,335 553,335 553,335 553,335	2 0,	0,512895 0,	0,02544 0,02563				7	44 0,014	Ĺ	9 0,024		11. Apr.		06:16	92:90				12 Minuten pro Tag (Max)
	549,7438 552,0815 554,4149 556,7439 550,733 557,2214 557,	2 0,		0				ľ					12. Apr.		06:15	06:25				
	552,0815 554,414 556,7439 556,7439 550,383 555,0129 557,3214 559,6257 561,9256 564,2211 553,58 555,6488	2 0,	0,534076 0,0	0,026298 0,026793			1.	1 -0,029	210'0 62	~	1 0,014	1 0,028	13. Apr.	6	06:14	06:24				Parameter für Daten Bereinigung (Datensatz mit 2024 Einträgen /-296)
00 000000	554,4149 556,7439 550,383 555,0129 555,0129 556,257 561,925 564,2211 553,35 553,35	2 0,	0,5222904 0,0	92720,0 728220,0		6,19 91,9	666'0 6')	99 -0,032	32 0,015	5 -0,999	9 0,015	5 0,032	14. Apr.		06:13	06:23				1.: Zeitraum ab 05:50 Uhr bis Sonnenuntergang
00 000000	556,7439 550,383 555,0129 557,3214 559,6257 561,9256 564,2211 553,35 553,35	2 0,	0,511966 0,0	0,025423 0,027115	1115	1 92,1		ï	36 0,017				15. Apr.		06:13	06:23				2.: Sonnenstand über Horizont ist min, 5° (Standard: min, 10°)
0 000000	550,383 555,0129 557,3214 559,6257 561,9256 564,2211 553,35 555,6488	2 0,					666'0 6'3			2 -0,999			16. Apr.		06:13	06:23				3.: Dauer der Reflexion ist min. 5 Minuten pro Tag (Standard: min. 5 Minuten)
000000	555,0129 557,3214 559,6257 561,9256 553,35 553,35	2 0,					8′	1 -0,014		-	0,004		17. Apr.		06:11	06.21				
	557,3214 559,6257 561,9256 564,2211 553,35 555,6488	2 0,				0,9 91,2	2	1 -0,021			900'0		18. Apr.		06:11	06:21				
	559,6257 561,9256 564,2211 553,35 553,35	2 0,											19. Apr.		06:11	06:21				Potentielle Reflexionen
The state of the state of	564,2211 553,35 555,6488	2 0,						Ì					20. Apr.		06:10	06.20				Max. Minuten pro Tag
	553,35	7 (O,O CODOCIO	0,025183 0,027843		'n	666'0 97	99 -0,032	32 0,023	6660	1		21. Apr.		50.00	60.19		30		
	555,6488	9 6				200 000					1000	0,042	22 Apr	101	00.00	06.10		- 1		
42	The same of the same of	2 0		0				1 -0.01		1 50	0003		24. Apr.		90:90	06.18		25		
	560,2338	2 0.					91	1 -0.017	ľ		10000-		25. Apr.		80:90	06:18				
200	562,5199	2 0				on	7	1 -0,021		- 57			26. Apr.		90:90	06:16		20		
2022-03-23 06:37:00 0,010119	564,8017	2 (0,49945 0,0	0,025266 0,029035		1,5 91,4	(,4 0,999		24 0,026	666'0- 9	9 0,002	960'0 7	27. Apr.	11	90:90	91:90				
2022-03-23 06:38:00 0,009782	1670,732	2 0,	0,489001 0,0	0,024837 0,027805		1,7 91,6	666'0 9'1	99 -0,028	28 0,029	666'0- 6	9 0,003	10'00	28. Apr.		90:90	91:90		15		
	558,5634	2 0					11	1 -0,002		6	110'0- 1		29. Apr.		06:05	06:15				
	560,8401	2 0,					1,3	1 -0,006		2	600'0- 1		30. Apr.		90:90	06:15		10		
	563,1125	7					5'	1 -0,009		4	0000		1. Mai.		06:05	06:15				
	565,3806	2 0,											Z. Mai.		06:03	06:14		5		
200	567,6445	2 0,						Æ					3. Mai.		06:03	06:13				
3	569,9041	2 0				1,8 91,1					Ï		4. Mai.		06:03	06:13		0		
-	572,3594	2 0,			Î		6660 61		-	5 -0,999			5. Mai.		06:02	0613		ЭС.		To the state of th
1290100 00:62:90 SZ-50-2202	556,9132	9 6	0,0 553155	0,027,000 452,000		1,1 69,5	n c	5000	20,0	9.0	5100	6000	D. Mal.	11	70:00	77.90	Ī	ty s	to s	I E E I (6 I (8 I (9) I (9)
100	563 7024	2 0 0					-	1 -0.002			9100		8 Mai		06-01	06-12				e e e e e e e e e e e e e e e e e e e
12	565,9571	2 0.						1 -0.005		, po	1 -0.015		9. Mai.		06:01	06:12				
1	568,2075	2 0					666'0 5'0	o de	~	2 -0,999	ľ		10. Mai		10:90	06:11				
2022-03-25 06:35:00 0,010219	570,4537	2 0,	0,487271 0,0	0,024897 0,030829	829	2 90,7	666'0 2'0	210,0- 69	12 0,035	666'0- 5	9 -0,013	3 0,035	11. Mai	11	10:90	06:11				
2022-03-25 06:36:00 0,009891	572,6957	2 0,	0,477075 0,0	0,024472 0,029706		2,2 90,9	666'0 6'0	99 -0,016		8 -0,999	9 -0,012	6500 7	12. Mai	. 12	00:90	06:11				
2022-03-25 06:37:00 0,009274	574,9333	2 0,					(1 0,999	610'0- 66	90'0 61	4 0,999			13. Mai		00:90	06:10				
2022-03-26 06:27:00 0,01057	557,54	2 0,	0,564023 0,0	0,028166 0,024187	-	1,2 88,8	80	1 0,02	02 0,02	2	1 -0,028	\$ 0,003	14. Mai.	11	00:90	01:90				
2022-03-26 06:29:00 0,010721	562,0434	2 0,	0,540672 0,0	0,027218 0,027816		1,5 89,3	er.	1 0,013	13 0,025	un.	97000	1100 9	15. Mail.	12	65:50	06:10				
-	564,2889	2 (0,52936 0,0				5.0	1 0,01		00	-0,025		16. Mai		06:59	01:90				
	566,5302	2 0,	0,518285 0,0	0,026299 0,028079		1,7 89,7	17	1 0,006	60,0 0,03	m	1 -0,024	61000 1	17. Mai.		05:59	06:10				
	568,7674	2 0,	0,507441 0,0	0,025851 0,028639					02 0,033		Ü	3 0,024	18. Mail.		05:59	60:90				
-	571,0003	2 0,											19. Mai		05:58	60:90				
	573,2291	2 0,						î					20. Mail.		85:58	60:90				
20040	575,4536									1.0			21. Mai.		05:58	60:90				
2022-03-26 06:36:00 0,009/22	577,6738	2 0,0	0,466284 0,0	0,024126 0,029492		2,5 90,7	7,1	99 -0,012	12 0,043	3 0,999	6100	0,041	22. Mai	GmbH TCopy	8 28	06:08				